

Misión SMOS de la Agencia Espacial Europea. Estimación del Contenido en Humedad del Suelo desde el Espacio

Ernesto López Baeza

8

Grupo de Climatología desde Satélites

Dept. Física de la Terra i Termodinàmica Universitat de València



Cicle de Conferències de la Facultat de Física

Salón Interfacultativo Campus de Burjassot, 22 Noviembre 2007





SMOS, la Misión de ESA sobre el Ciclo del Agua

Soil Moisture and Ocean Salinity

























Introducción El Ciclo del Agua

Motivación

Impactos del Cambio Climático Incertidumbres de los Modelos Numéricos

Contenido en Humedad del Suelo
Papel en el Ciclo Hidrológico
Su Medida con Teledetección . Microondas
Banda L

La Misión SMOS de la Agencia Espacial Europea

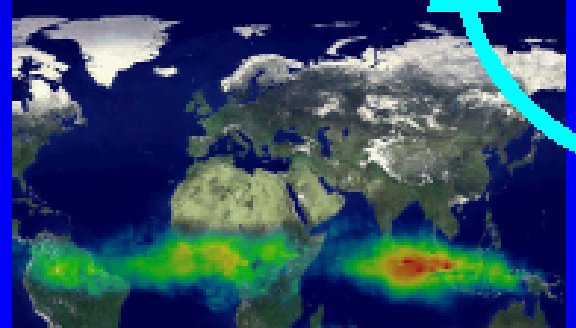


Major Climate System Elements

Carbon Cycle

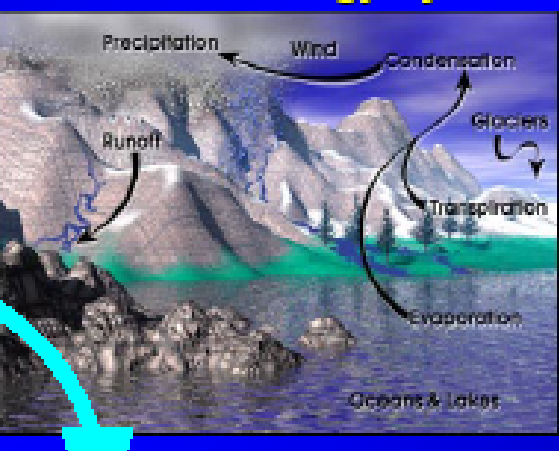


Coupled Chaotic Atmospheric Chemistry Nonlinear

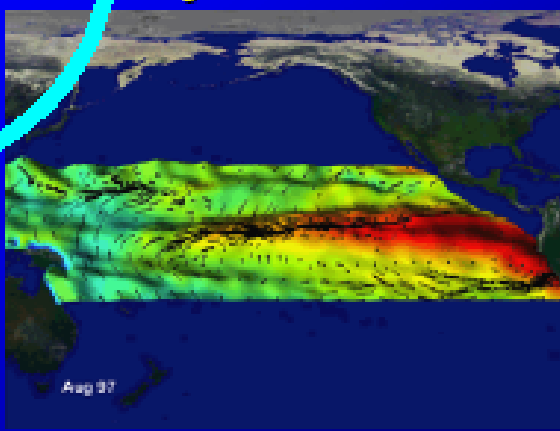


Water & Energy Cycle

SMOS



Atmosphere and Ocean **Dynamics**



AND VINDING TO THE

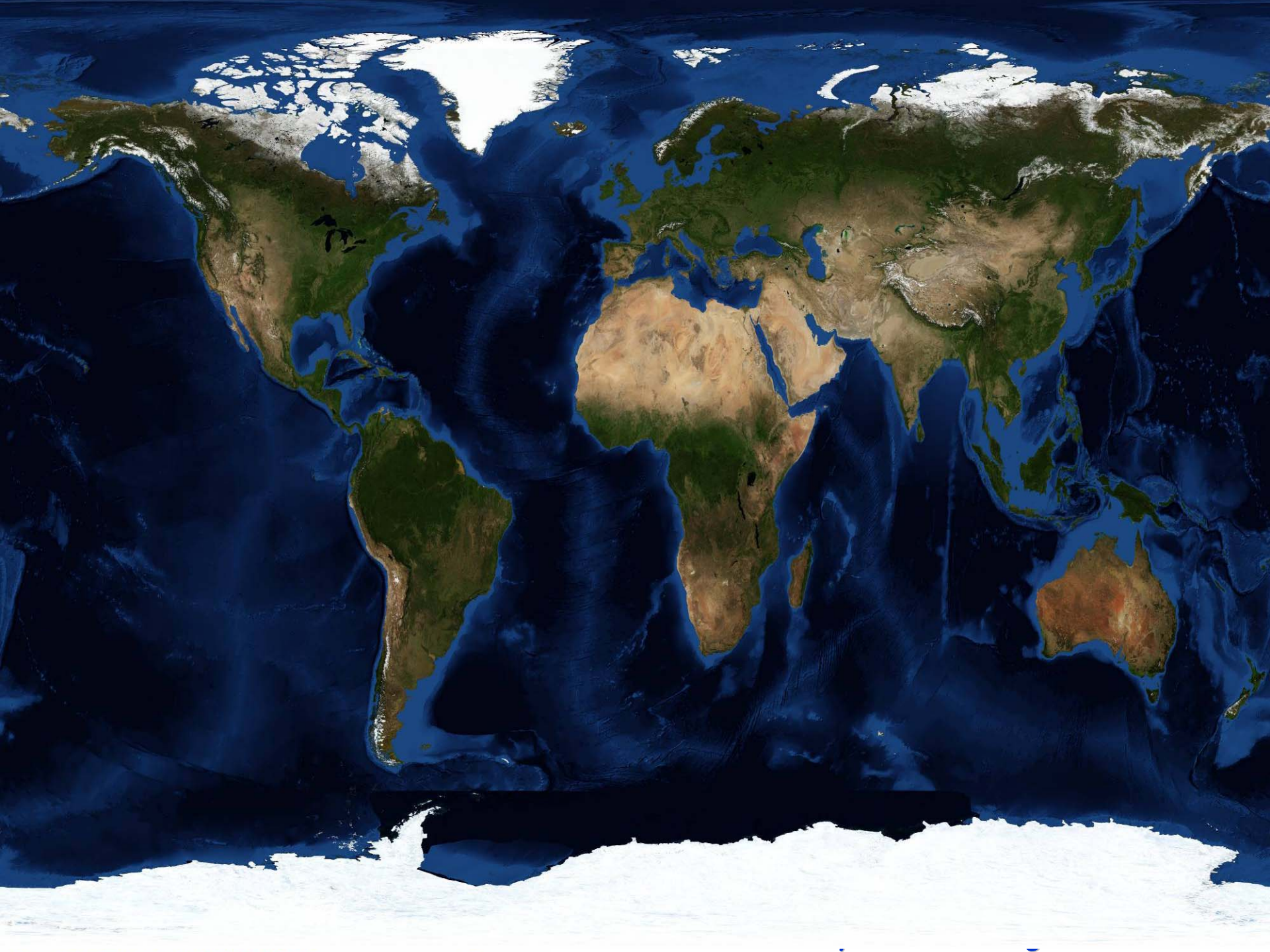
Cicle de Conferències de la Facultat de Física

Salón Interfacultativo Campus de Burjassot, 22 Noviembre 2007











El agua puede almacenarse en:

- la atmósfera
- los océanos
- lagos
- ríos
- suelos
- glaciares
- campos de nieve
- subsuelo
- (acuíferos)



Hay evidencia de tendencias significativas en el Ciclo Global del Agua

La mayor parte del agua de la Tierra (alrededor de 96.5%) se almacena en los océanos globales,

alrededor del 1.7% se almacena en los casquetes polares de hielo, glaciares y campos permanentes de nieve,

y otro 1.7% se almacena en el subsuelo, lagos, ríos, arroyos y en el suelo.

Sólo una pequeñísima cantidad del agua del planeta está presente en la atmósfera, pero al ser el "gas de efecto invernadero" más importante, tiene una influencia muy fuerte en nuestro tiempo y nuestro clima.

SMOS

Cicle de Conferències de la Facultat de Física

Salón Interfacultativo Campus de Burjassot, 22 Noviembre 2007

El 70% del planeta está cubierto de agua ... pero sólo 2.5% de esa agua es dulce



El 70% del agua dulce está congelada en los casquetes de hielo de la Antártida y de Groenlandia

La mayor parte del resto está en forma de humedad del suelo o en los acuíferos profundos inaccesibles

o aparece en monzones y riadas

Menos del 0.08% del agua del mundo queda por tanto disponible para uso humano directo ...

e incluso ésta está distribuida muy poco equitativamente

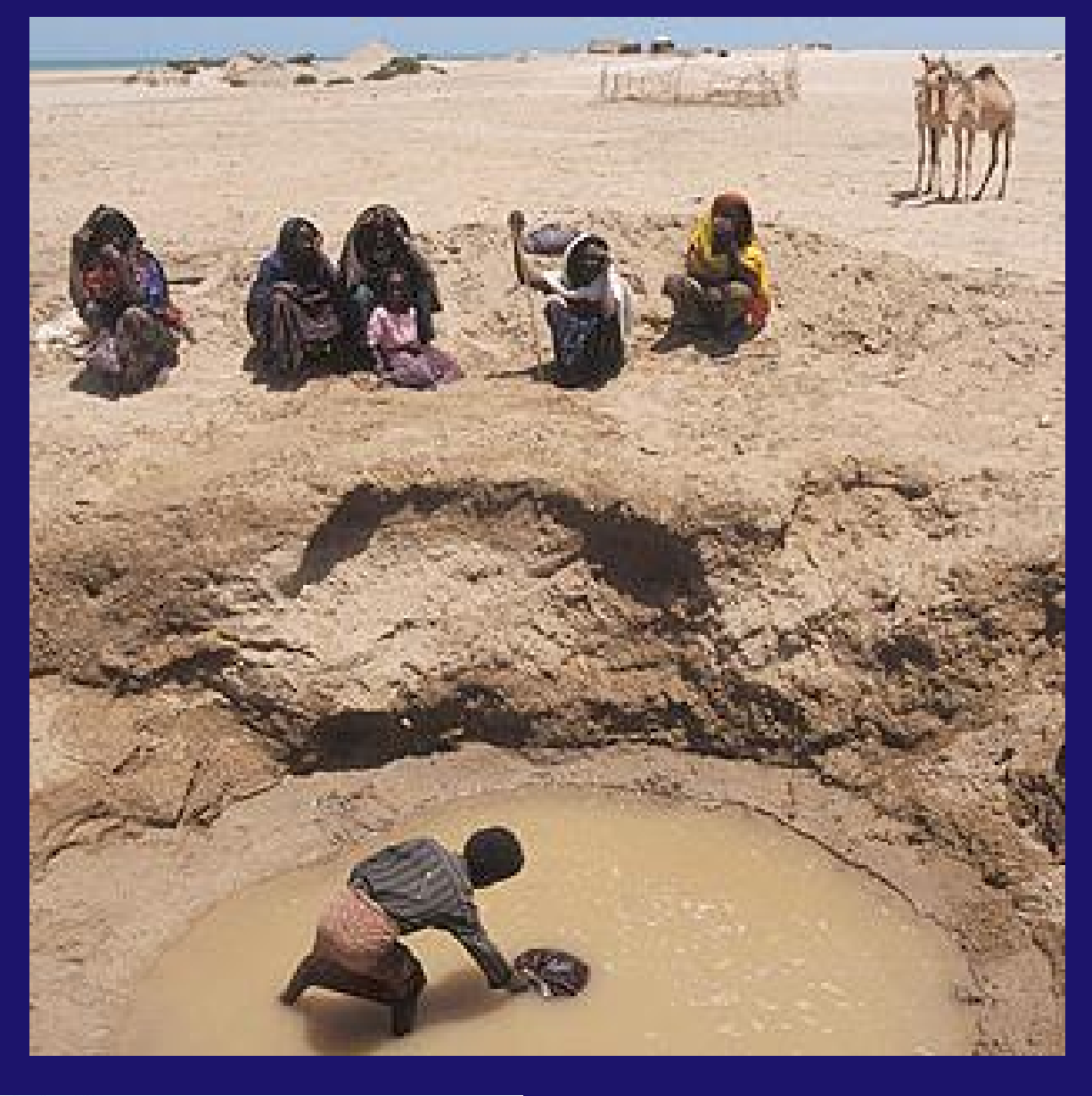


Cicle de Conferències de la Facultat de Física
Salón Interfacultativo Campus de Buriassot 2

STATES OF TANKING IN

Salón Interfacultativo Campus de Burjassot, 22 Noviembre 2007









Ciclo Hidrológico

Salinidad del Océano Contenido en Humedad del Suelo



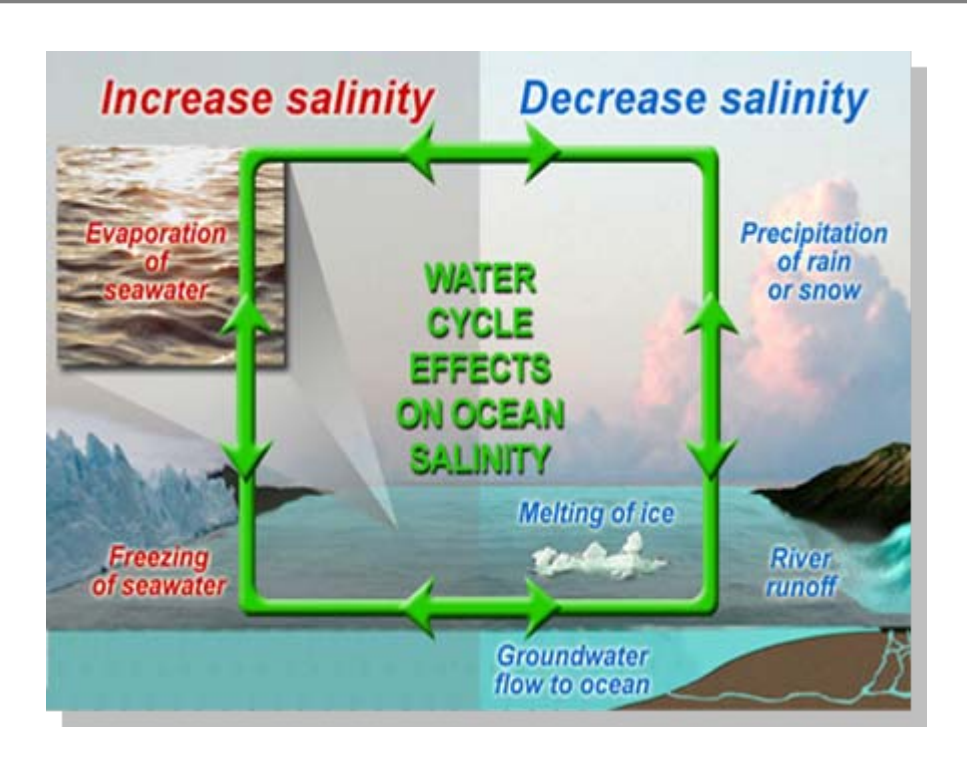


Ocean Salinity and Climate



Salinity links the climatic variations of the global water cycle and ocean circulation

- Salinity is required to determine seawater density, which in turn governs ocean circulation.
- Salinity variations are governed by freshwater fluxes due to precipitation, evaporation, runoff and the freezing and melting of ice.



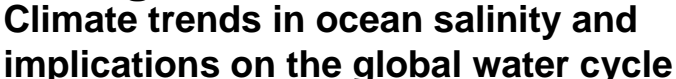
Air-Sea Water Flux accounts for

- 86% of global evaporation
- 78% of global precipitation

Importance

- Climate prediction
- El Niño forecasts
- Global Water budget

G. Lagerloef





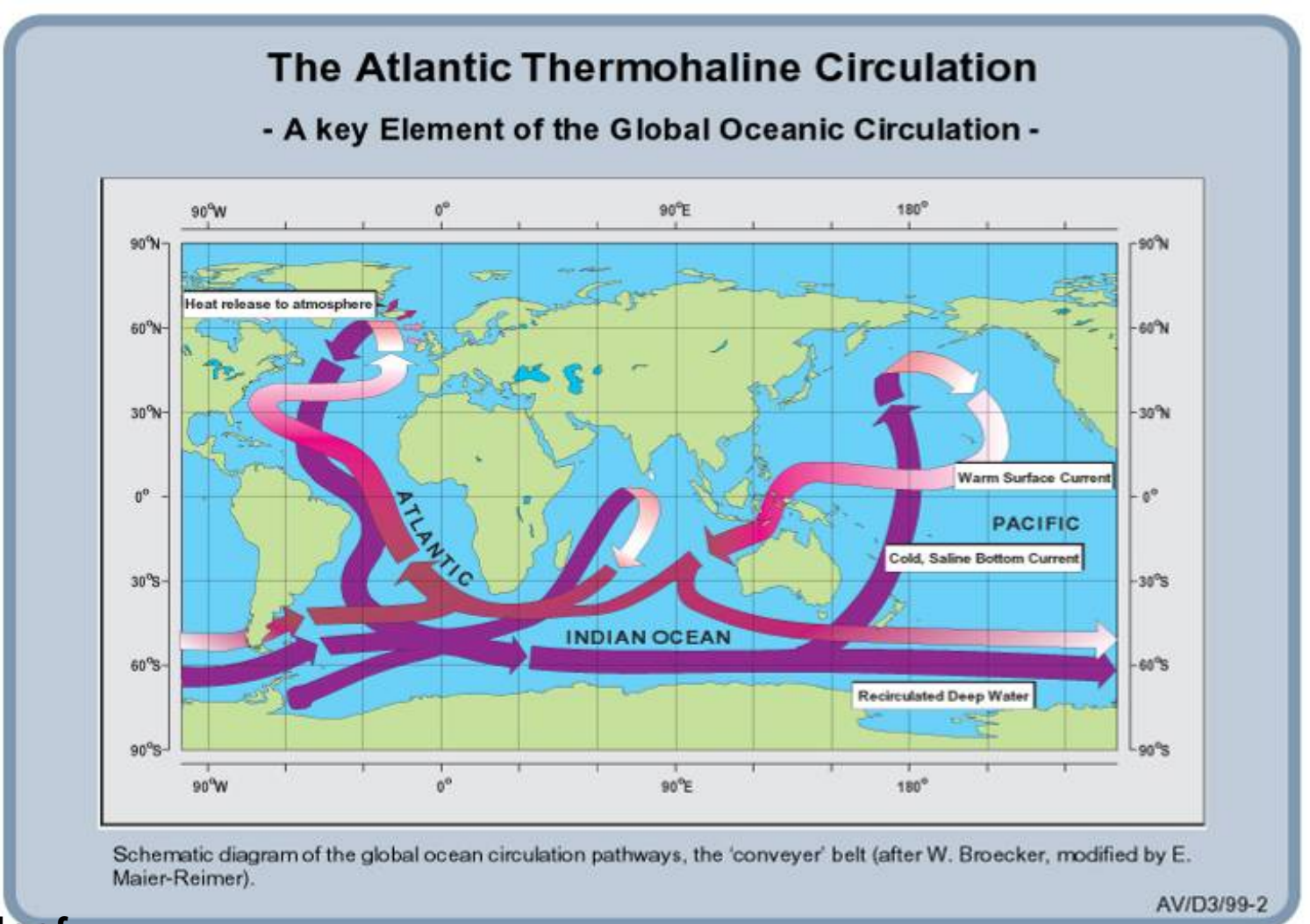




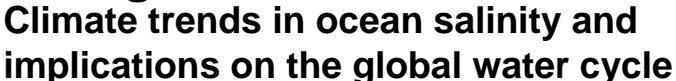
Salinity and Ocean Circulation



The ocean conveyor is sustained by elevated salinity in the Atlantic



G. Lagerloef

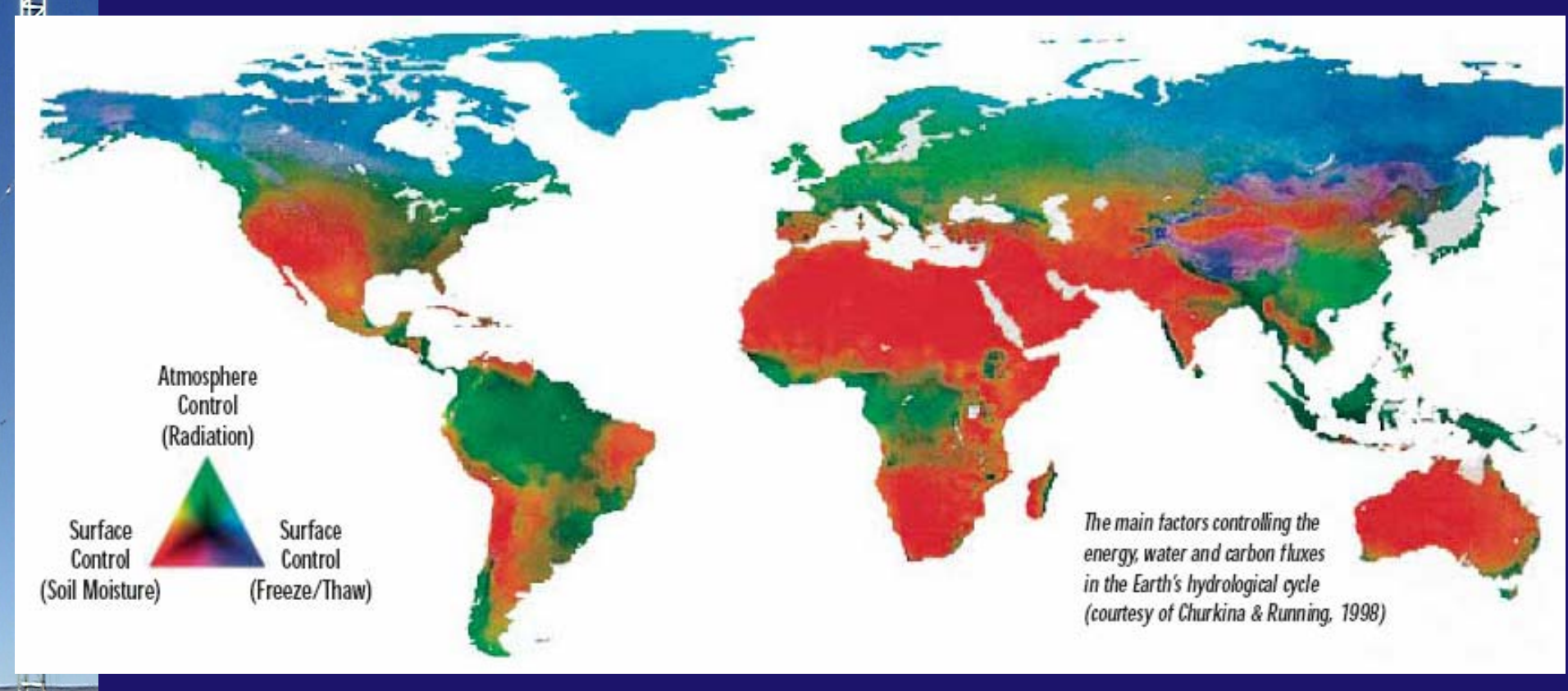






Cicle de Conferències de la Facultat de Física Salón Interfacultativo Campus de Burjassot, 22 Noviembre 2007







Cicle de Conferències de la Facultat de Física

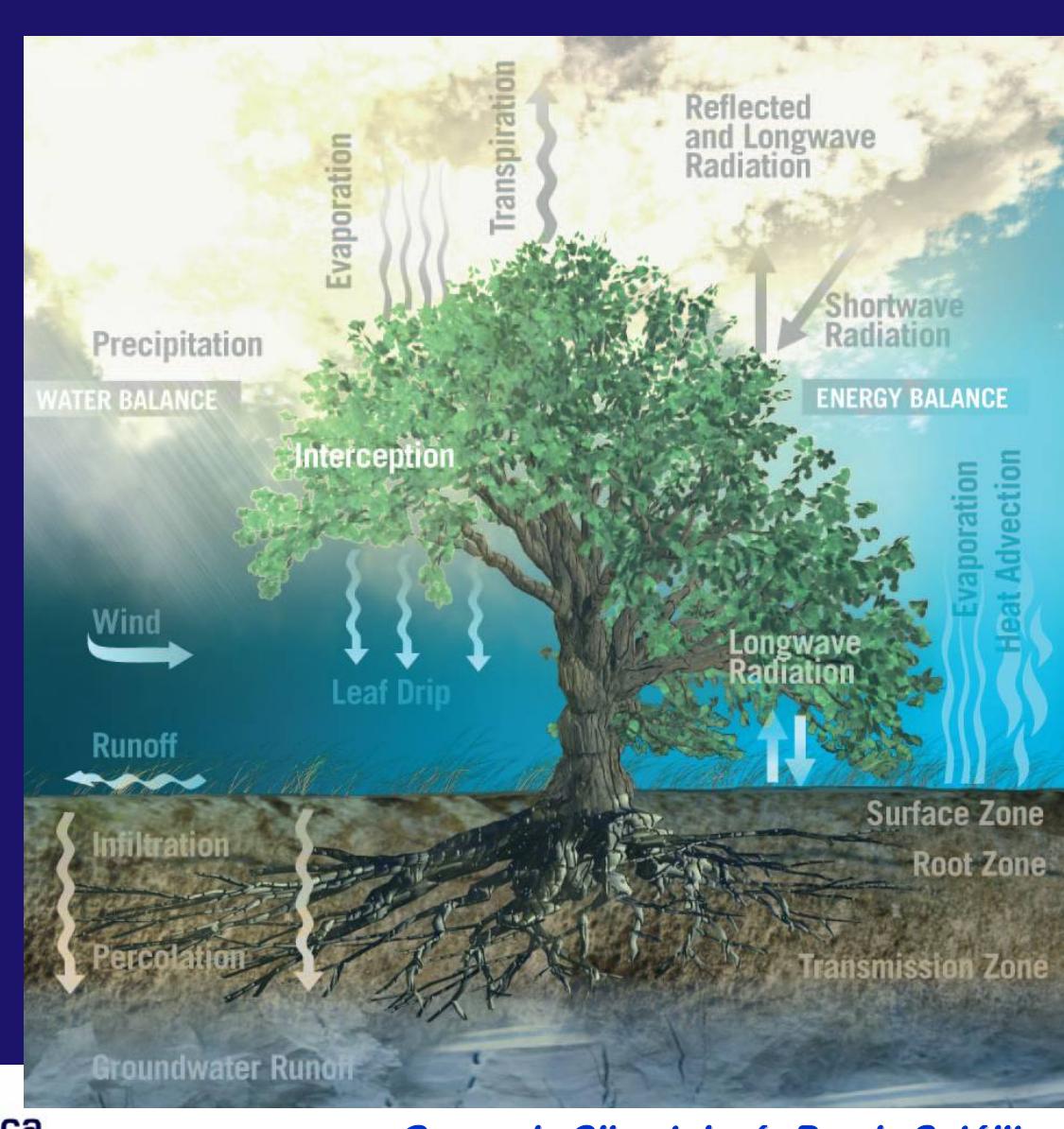
Salón Interfacultativo Campus de Burjassot, 22 Noviembre 2007

Energy and water balance of the physical climate system including

terrestrial and atmospheric components of the water cycle

In most parts of the world, the amount of water

present in the soil is the dominant factor that affects plant growth. However, the retention of water in the soil is crucial not only to sustain primary production, but is also intrinsically linked to our weather and climate. This is because soil moisture is a key variable controlling the exchange of water and heat energy between the land and the atmosphere through evaporation and plant transpiration. As a result, soil moisture plays an important role in the development of weather patterns.



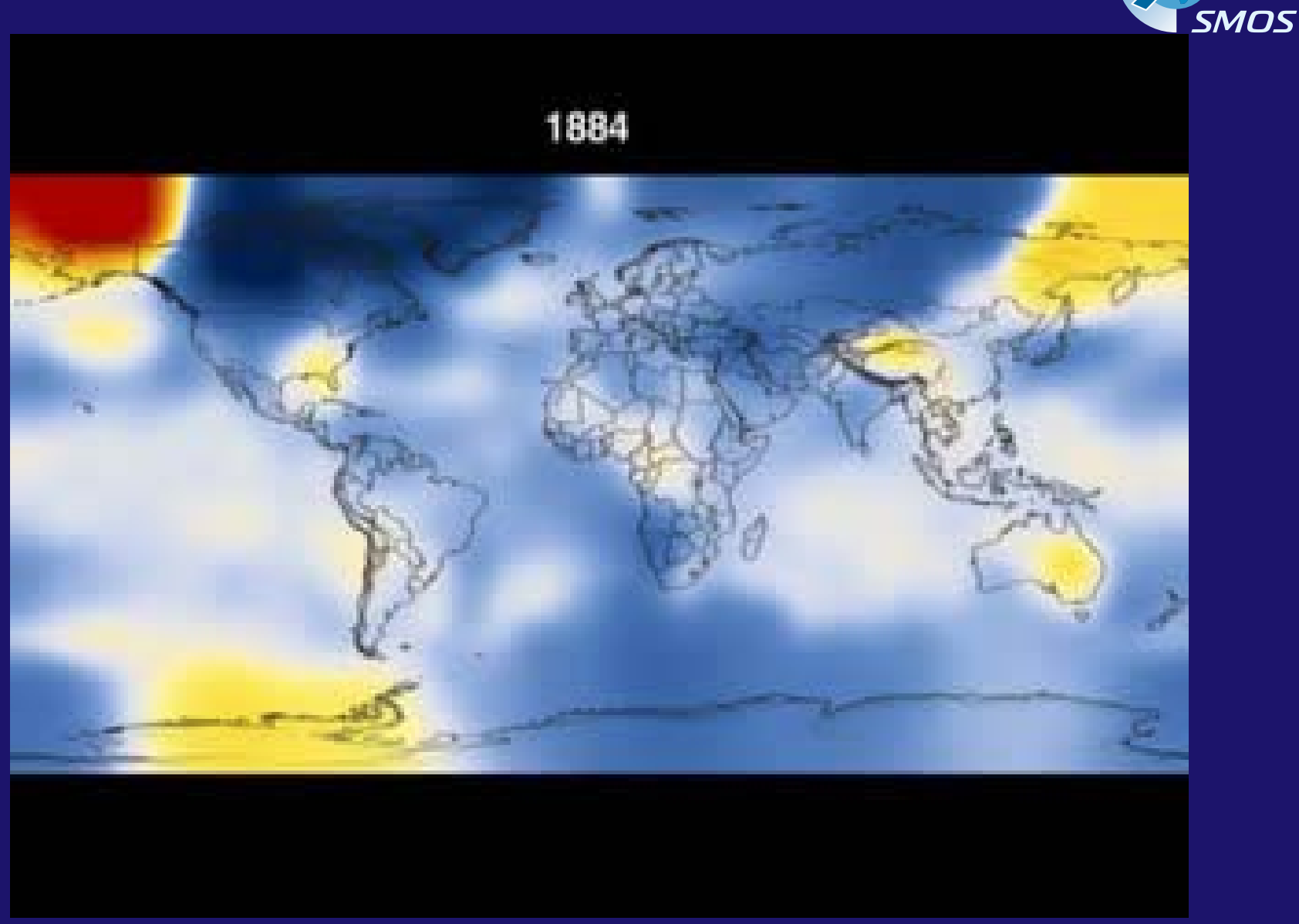


Motivación

Impactos del Cambio Climático Incertidumbres de los Modelos Numéricos



Cicle de Conferències de la Facultat de Física Salón Interfacultativo Campus de Burjassot, 22 Noviembre 2007



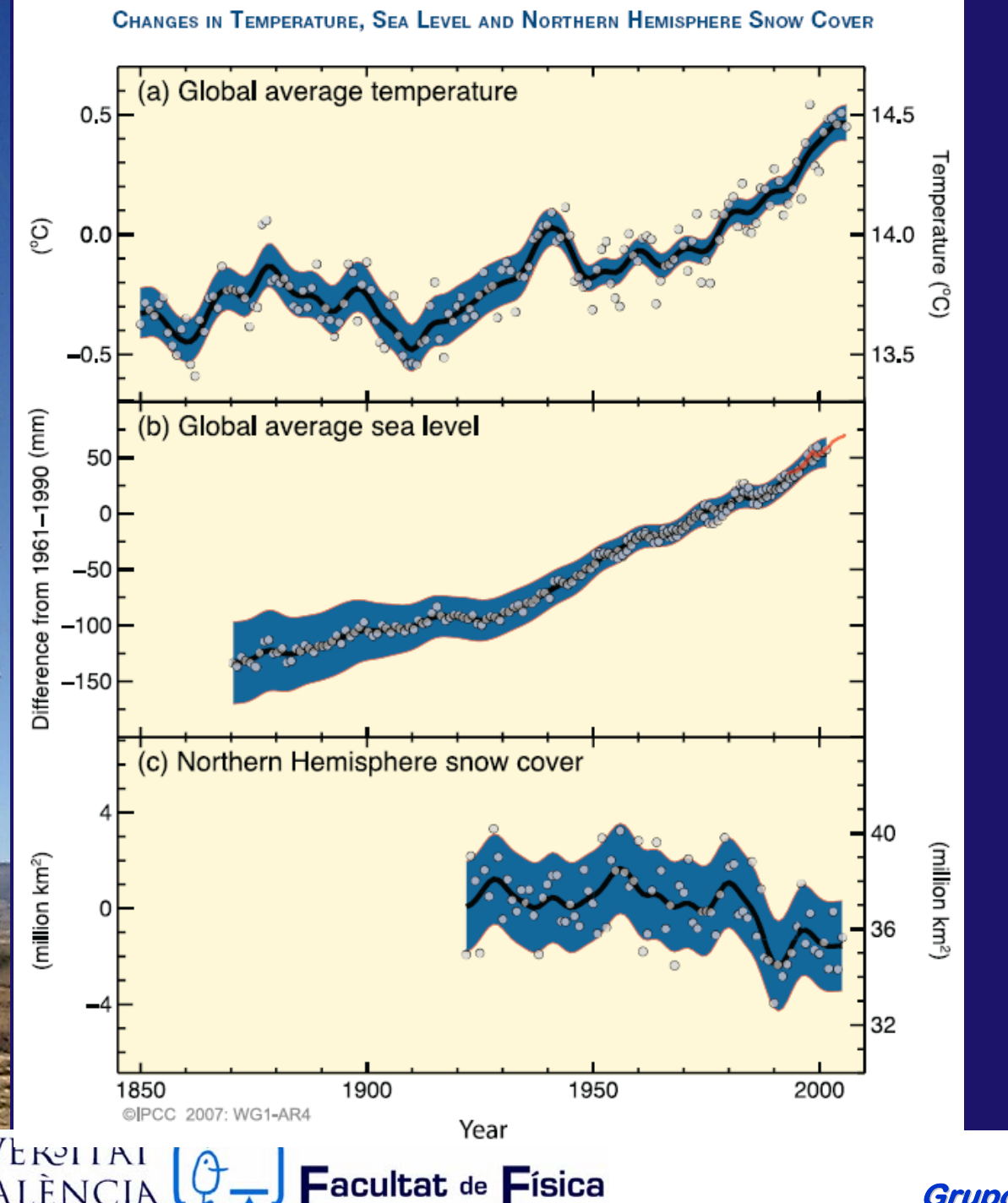




Figure SPM.3. Observed changes in

- (a) global average surface temperature
- (b) global average sea level from tide gauge (blue) and satellite (red) data and
- (c) Northern Hemisphere snow cover for March-April

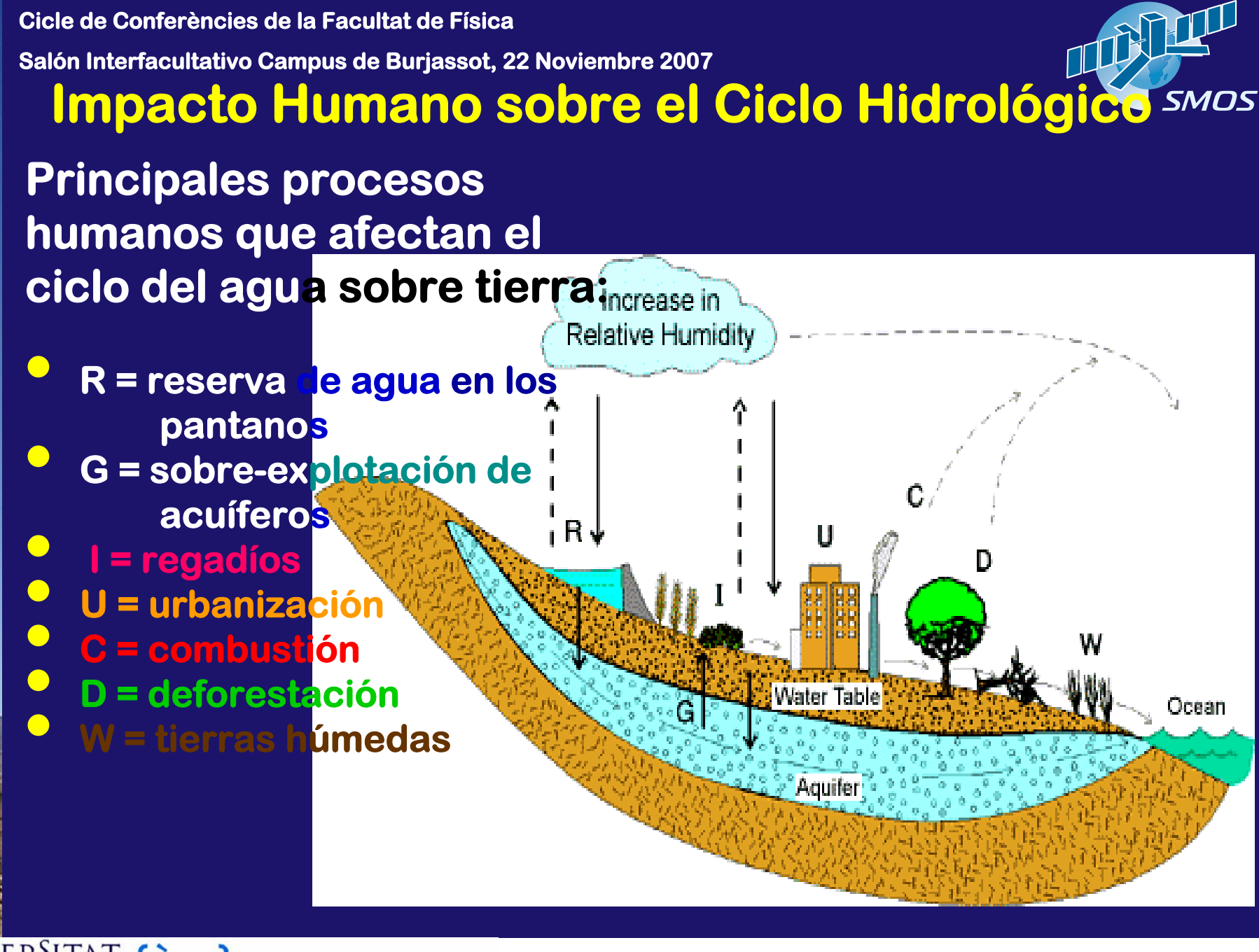
All changes are relative to corresponding averages for the period 1961-1990.

Smoothed curves represent decadal average values while circles show yearly values.

The shaded areas are the uncertainty intervals estimated from a comprehensive analysis of known uncertainties (a and b) and from the time series (c).

IPCC, 2007

NAME OF TANKE



Cicle de Conferències de la Fa

THE TOTAL THE PROPERTY OF THE PARTY OF THE P

Figure 2: Illustration of the need for soil moisture measurements: Soil Salón Interfacultativo Campus moisture fields obtained with three different models (GCM) for the same conditions. The analysis shows the discrepancies, highlighting the need for actual estimates of soil moisture (courtesy E.G. Njoku)

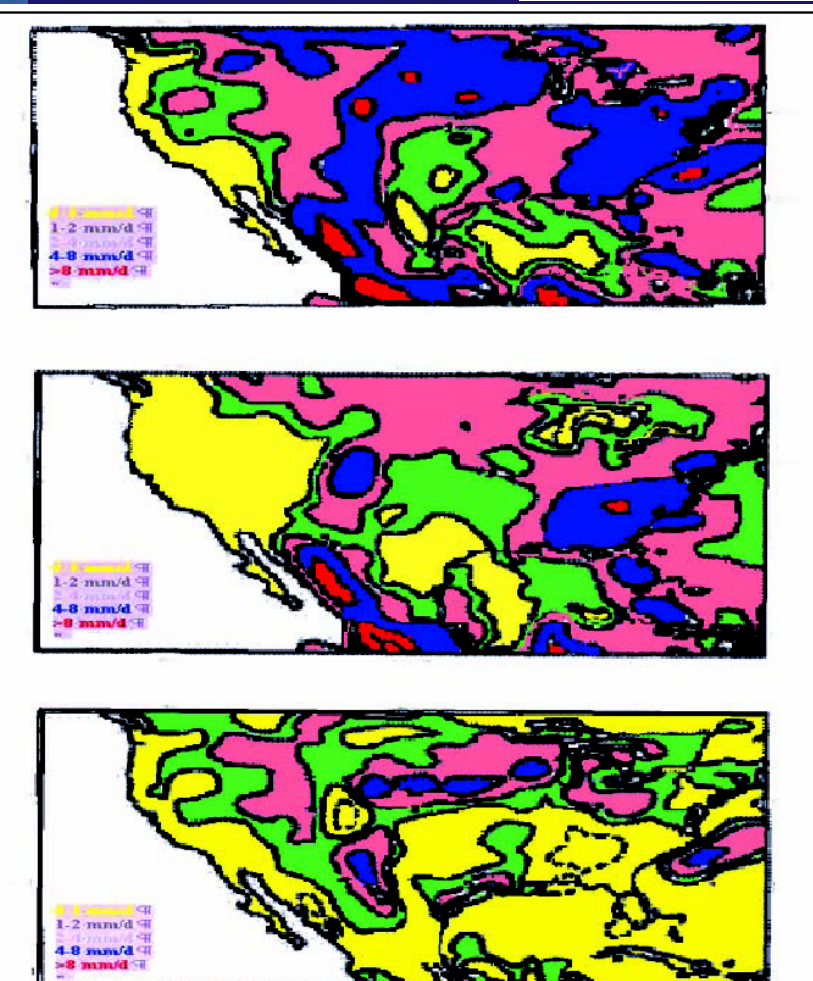
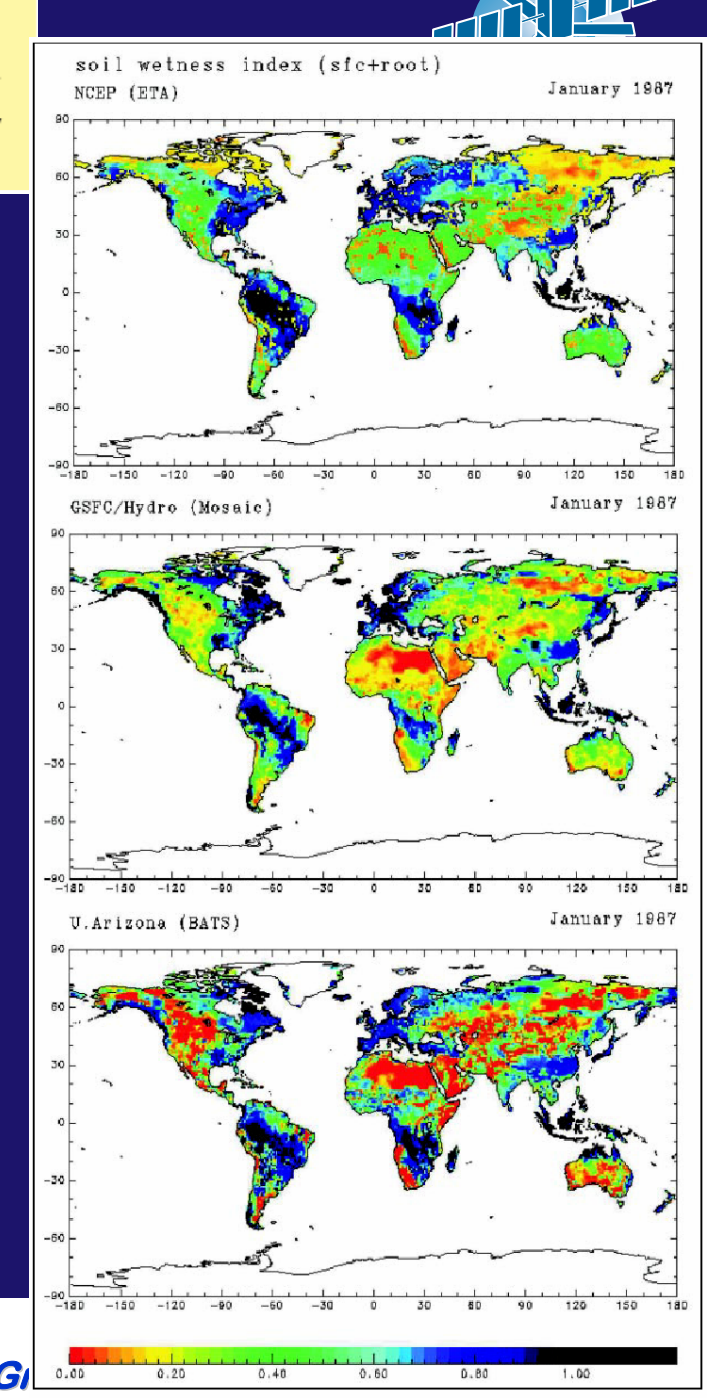


Figure 1: Impact of different soil moisture levels on the precipitation over North America (from [Beljaars et al., 1996]): Rainfall amounts obtained from two simulations with a wet and a dry surface. The difference between the two outputs is shown in the bottom map. This simulation shows the drastic impact of soil wetness on the predicted rainfall pattern.

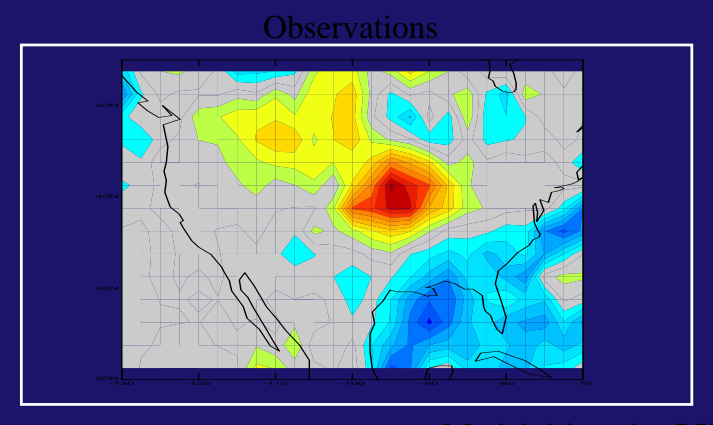


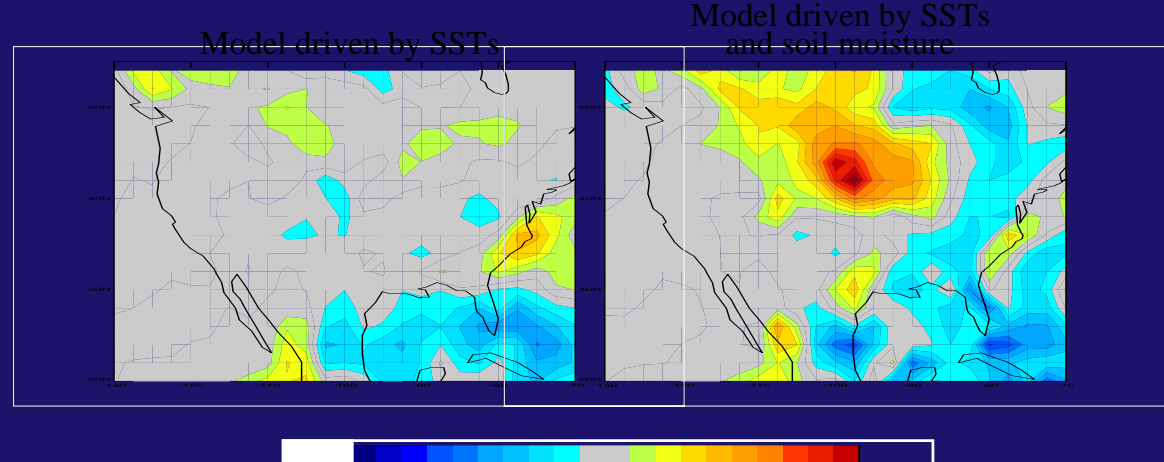


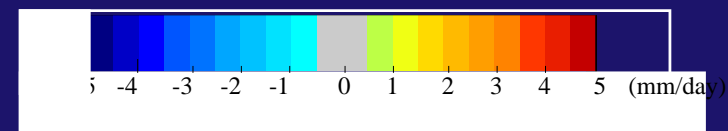
Entekhabi et al, 2001

SUMMER 1993 RAINFALL MINUS SUMMER 1988 RAINFALL

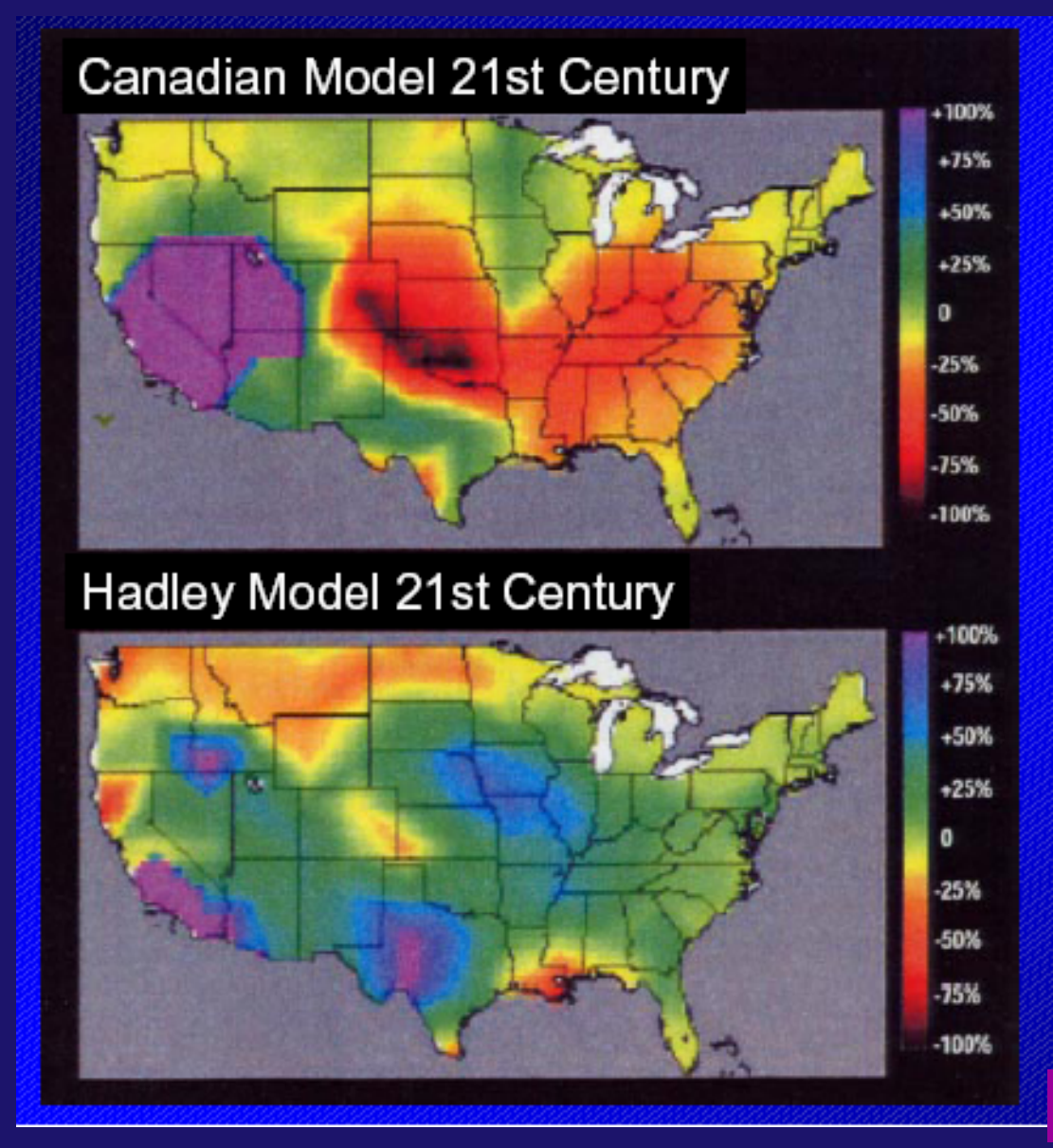
- La predictibilidad del clima estacional depende de las condiciones en la superficie: temperatura superficial del mar (SST) y humedad del suelo (SM)...
- En este estudio de sensibilidad, se demuestra que la lluvia caída en una región durante verano depende más del contenido de humedad que de la SST en la superficie.









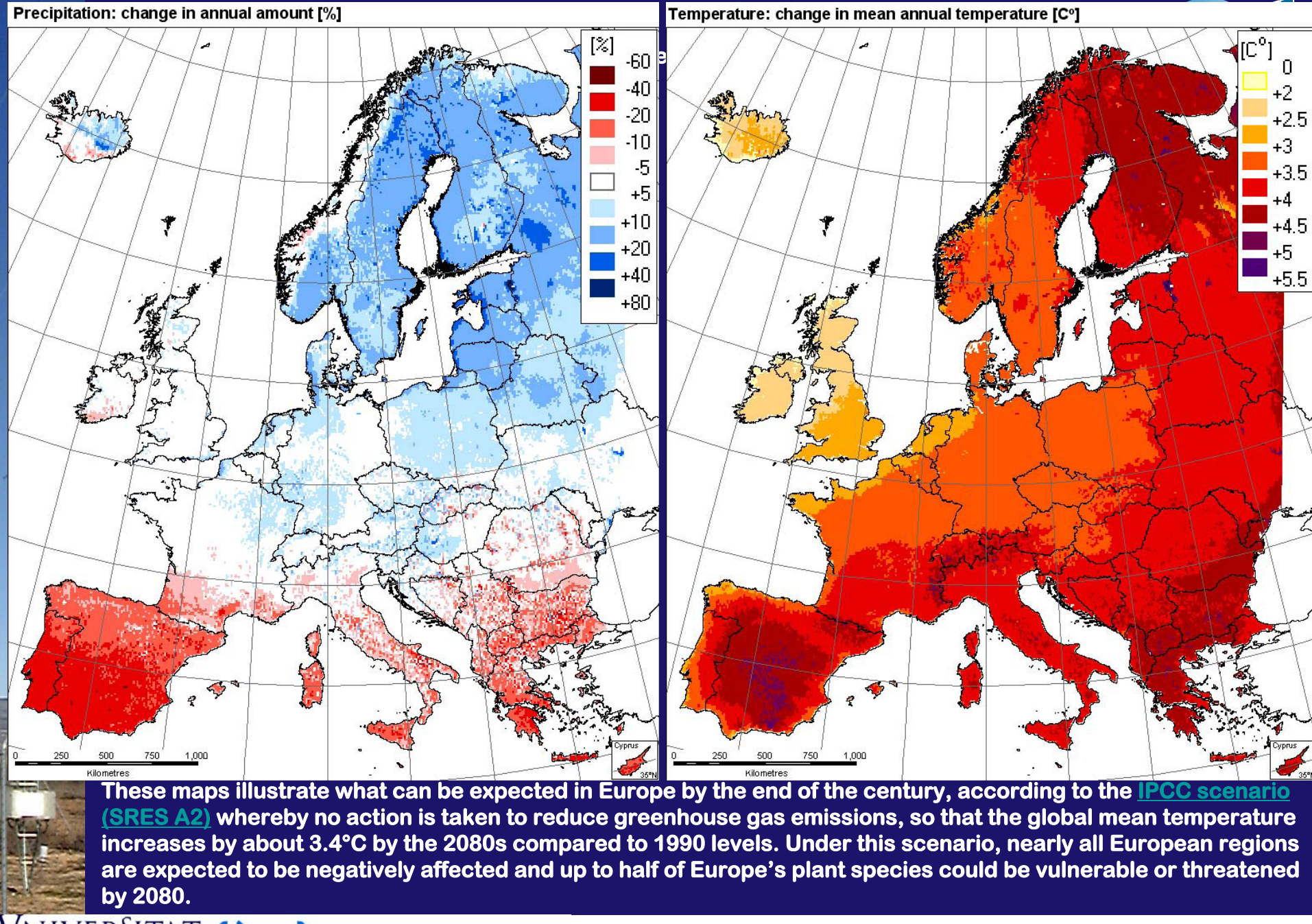


U.S. summer soil moisture predictions:

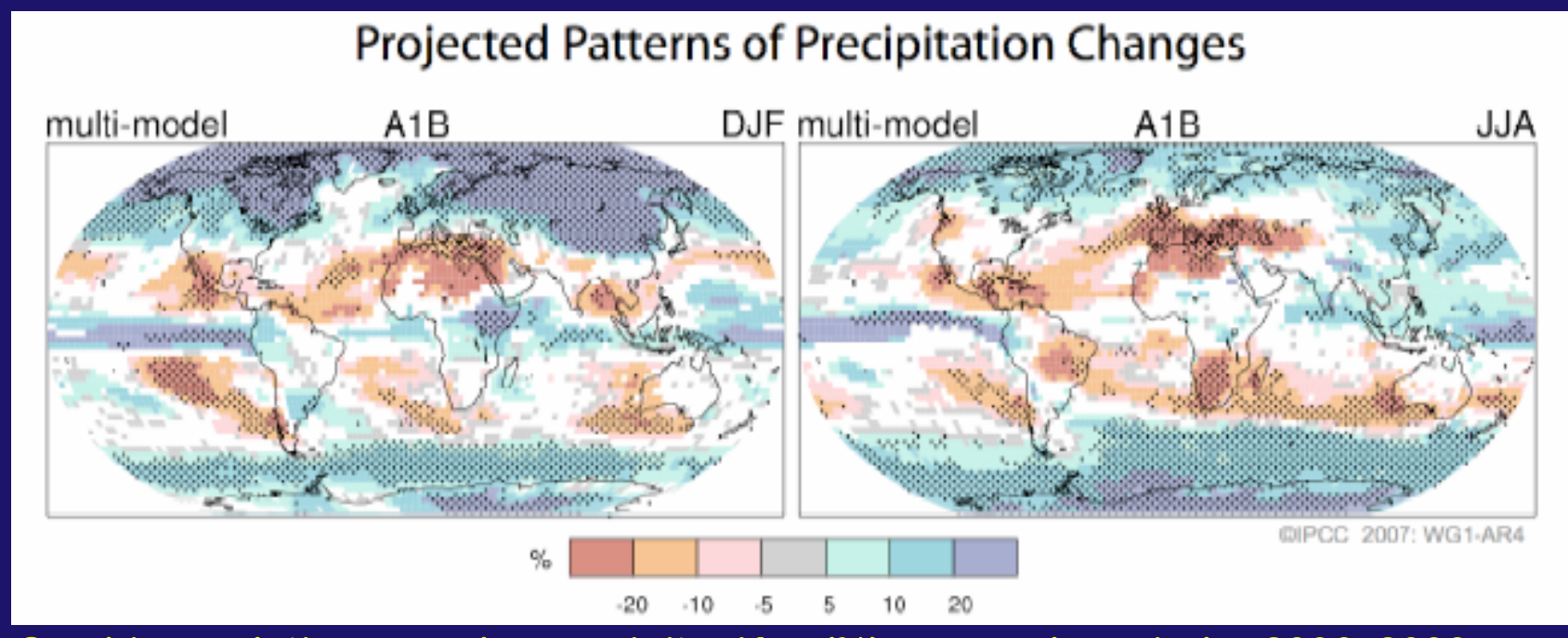
A tale of two climate models...

...and of large regional uncertainties.

B. Wilicki's lecture



Cambios Proyectados en la Precipitacións

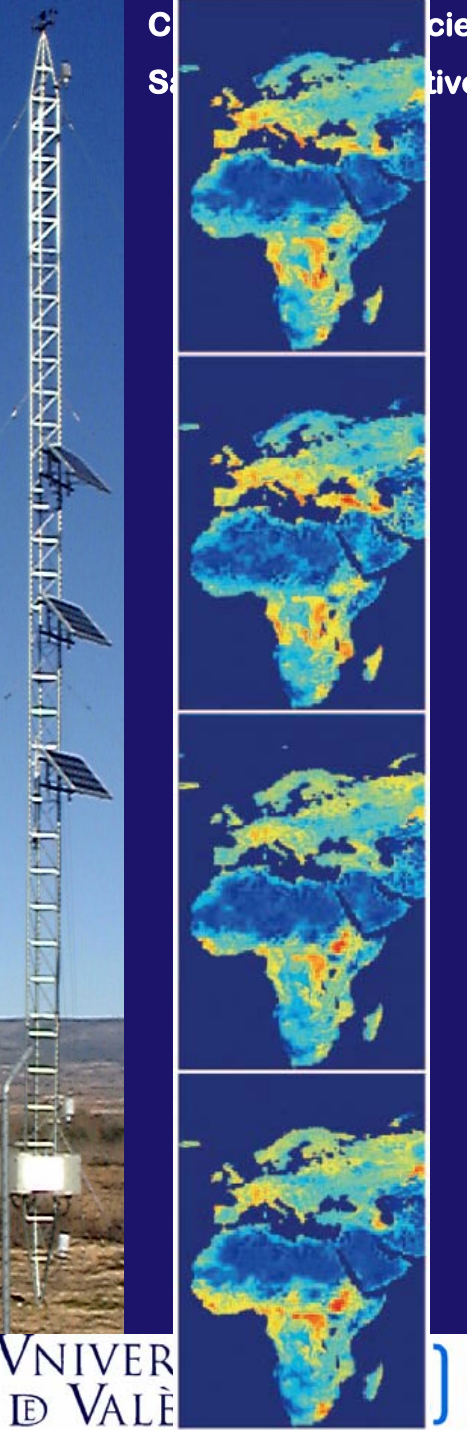


Cambios relativos en la precipitación (%) para el periodo 2090–2099 con relación al periodo 1980–1999

Los valores corresponden a promedios de varios modelos basados en el escenario SRES A1B para Diciembre a Febrero (izda.) y Junio a Agosto (dcha.)

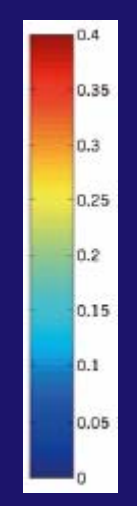
Las zonas en blanco representan un acuerdo entre los modelos inferior al 66% en el signo del cambio. Las zonas punteadas representan un acuerdo entre los modelos superior al 90% en el signo del cambio (IPCC, 2007)





cies de la Facultat de Física tivo Campus de Burjassot, 22 Noviembre 2007





Simulated seasonal soil moisture maps (starting with winter at the top) of Europe and Africa. The units are in 'cubic metre of water per cubic metre of soil'. These soil moisture maps were simulated by means of a SVAT scheme using climatological data.



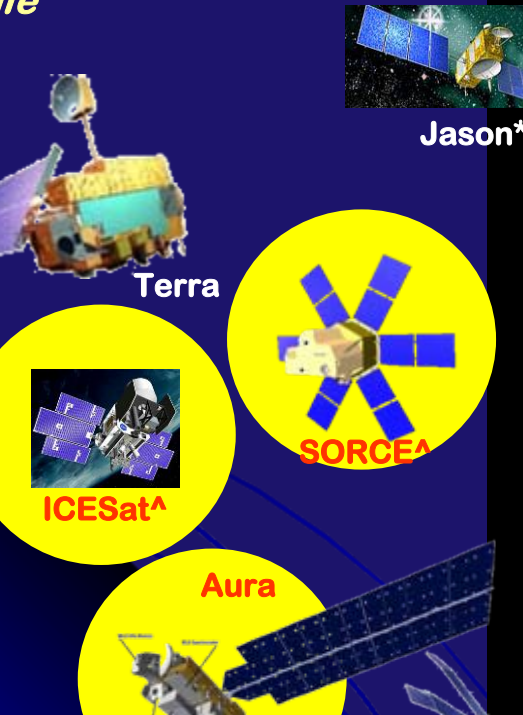
Hoy, los Satélites Proporcionan una Nueva Perspectiva Global del Ciclo del Agua

The Earth Observing System -- systematic measurement of interactions among land, oceans, atmosphere, ice & life





Exploratory missions to probe key Earth system processes globally for the first time



*FY02 launch (+ SAGE III)

^FY03 launch (+SeaWinds)



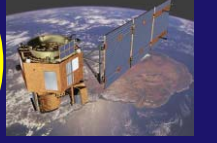


TRMM

GRACE*







EO-3: GIFTS

EO-1: ALI & Hyperion

Operational precursor / Technology demos



NOAA/ **GOES**

Operational weather services missions for NOAA

SeaWiFS

NOAA/ POES*



Contenido en Humedad del Suelo

Papel en el Ciclo Hidrológico Su Medida con Teledetección Microondas Banda L

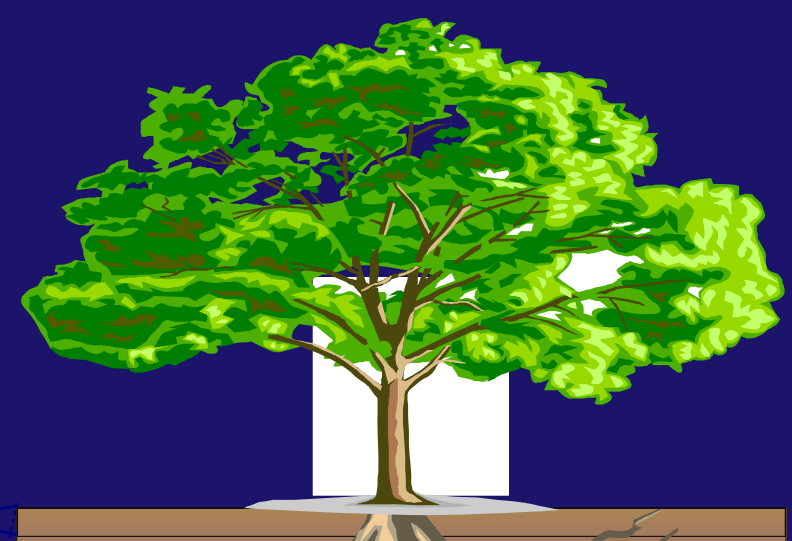




SM is a critical state variable in land surface hydrology which impacts fluxes of water, energy, and carbon.

CANANA MANANA

- Accurate soil moisture information over a variety of space and time scales is essential to improved climate prediction, numerical weather forecasting, natural hazards mitigation, and agricultural and water resources management.
- Microwave remote sensing (primarily at low frequencies such as L-band) is an important and effective tool for measuring soil moisture over large areas.
- Over 20 years of modeling and field research in microwave remote sensing of SM have produced accurate retrieval algorithms at local and regional scales which are also applicable to global space missions.
- Current efforts include the technology development activities for large antennas and radiometer instrument design which are necessary for enabling a high-resolution global soil moisture mapping mission in the near future.





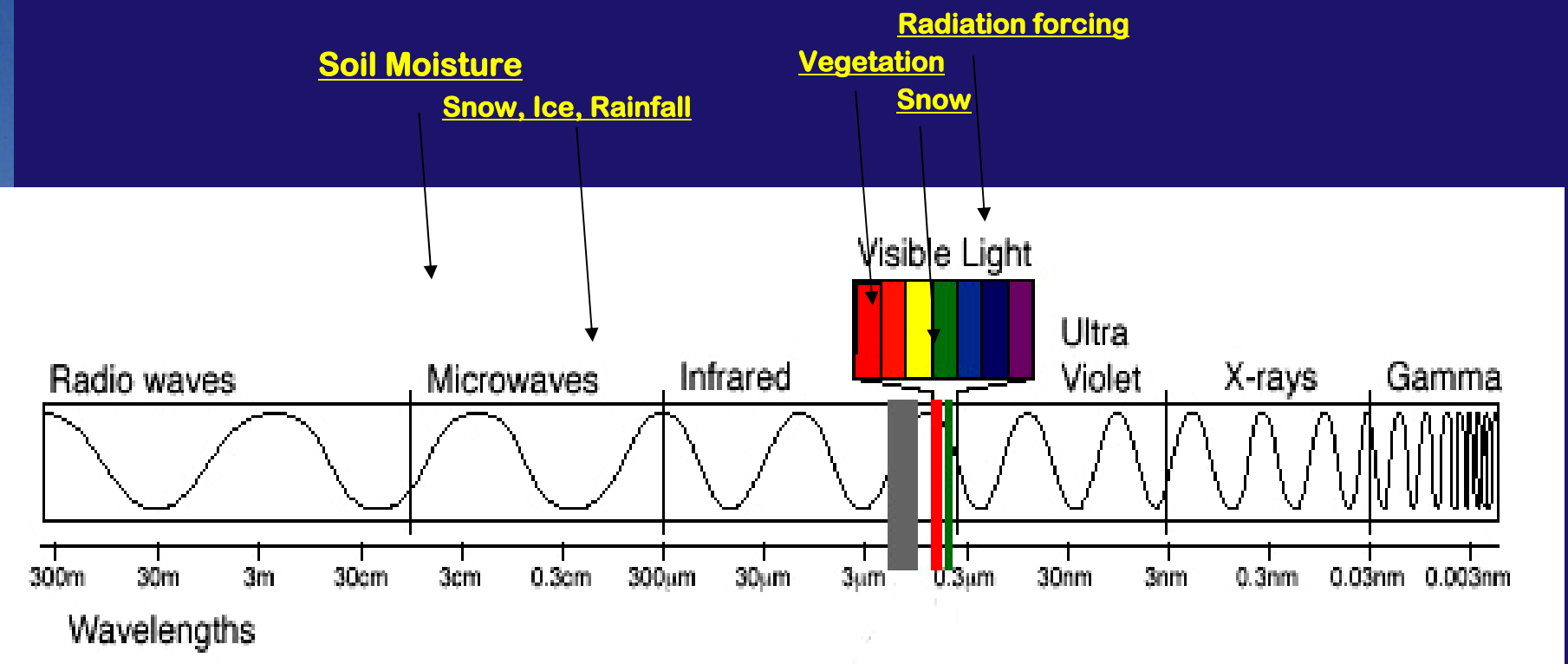


Cicle de Conferències de la Facultat de Física

Salón Interfacultativo Campus de Burjassot, 22 Noviembre 2007

¿Cómo se Hace Teledetección?





In order to measure changes on Earth, we "remotely sense" the radiant energy that is reflected and emitted from Earth at various "wavelengths" of the Electromagnetic Spectrum. Everything — from plants, to water, to clouds, to burning objects — reflects, emits, and absorbs radiant energy in unique and distinct ways. But our eyes are only sensitive to the "visible light" portion of the EM spectrum.



¿Cómo se puede medir la humedad del suelo?

- Laboratorio
 - Secado en el horno de muestras de suelo
 - Métodos químicos
- In situ

 - Resistividad, capacidad
 - TDR
- **Teledetección**

Optico/Infrarrojo (IR) Radar Radiometría

Solamente durante el día Poco atenuado por nubesPoco atenuado por nubes

Atenuado por nubes Poca precisión Alta precisión

No penetra la vegetación Alta resolución Poca resolución

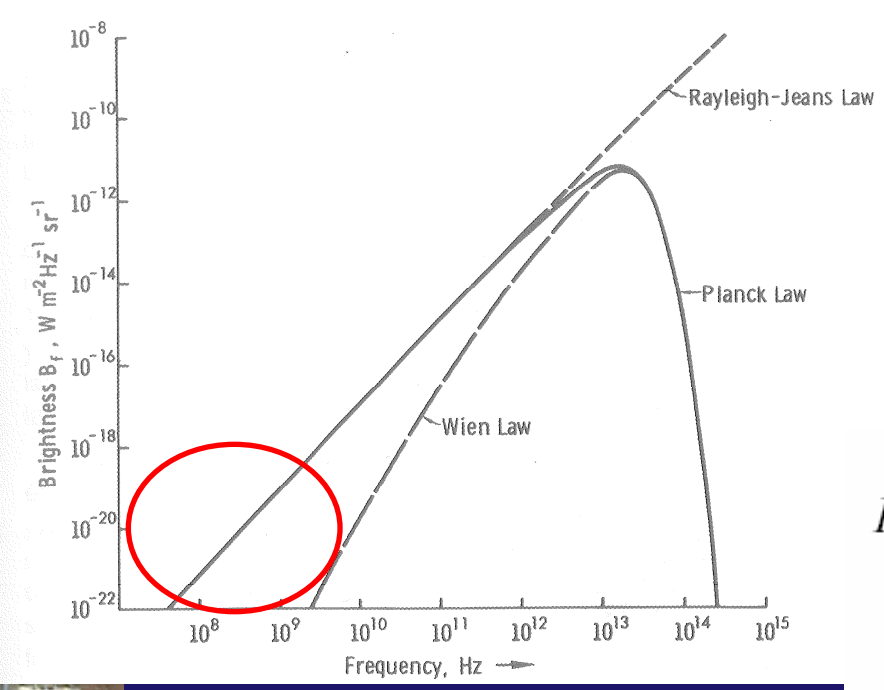
La teledetección por microondas abre un camino hacia el mapeado de la humedad superficial del suelo.

SMOS



Concepto Básico de Radiometría

Emisión de un cuerpo negro ideal: ley de Planck.



En equilibrio térmico:

- Absorbe toda la energía recibida.
- Emite toda la energía absorbida.
- A frecuencias de microondas la potencia radiada es proporcional a la temperatura física.

$$B_{bb}(f) = \frac{2 h f^{3}}{c^{2}} \frac{1}{e^{\frac{h f}{k_{B}T}} - 1} [w \cdot m^{-2} \cdot Sr^{-1} \cdot Hz^{-1}]$$

$$\underset{f\to 0}{\to} \frac{2k_B}{\lambda^2} T$$
 Ley Rayleigh-Jeans

μ**waves** (Ullaby)

[Facultat de Física

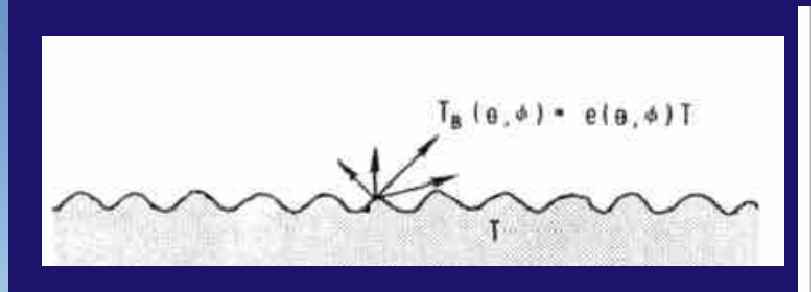
IR VIS

Concepto de Emisividad



- No absorben toda la energía incidente
- Una parte la reflejan
- La fracción absorbida la reemiten después direccionalmente

Temperatura de Brillo y Emisividad



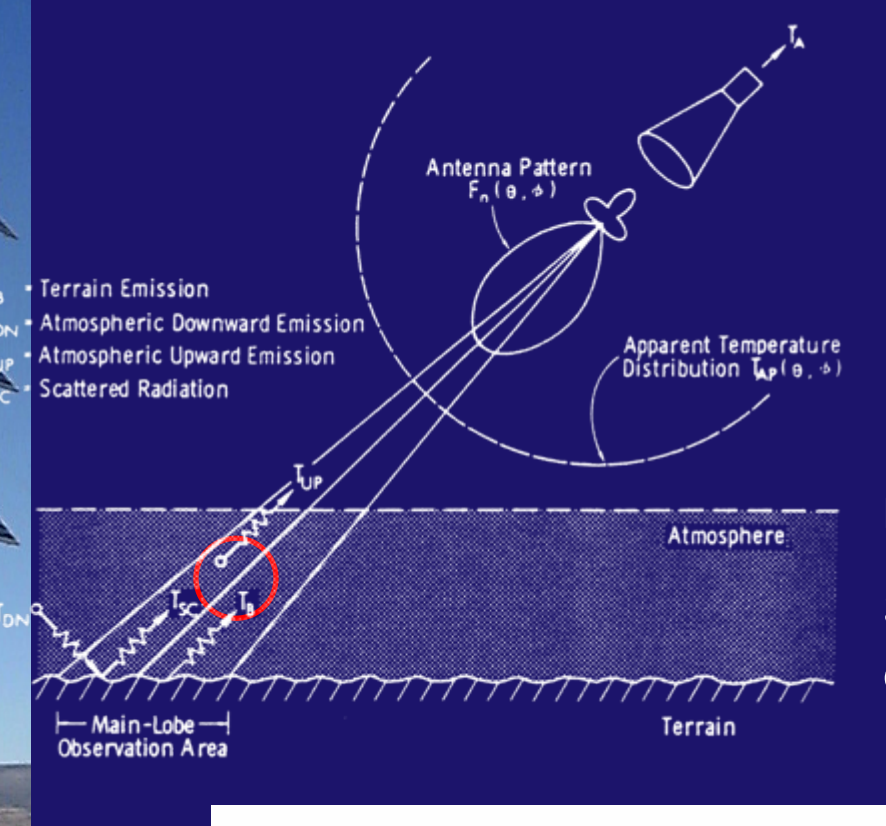
$$B(\theta, \varphi) = \frac{2 k_B}{\lambda^2} T_B(\theta, \varphi) = \frac{2 k_B}{\lambda^2} e(\theta, \varphi) T$$

$$0 \le e(\theta, \varphi) \le 1$$

• Cuerpos "Grises": T_B = e T_{ph} Temperatura de brillo

Emisividad : $e(\theta, \phi, f, mat. \& props. surf.)$

Potencia de ruido captada por una antena



T_A suma ponderada de:

- Potencia emitida por el objeto (T_B)
 atenuada por la atmósfera (L_a)
- Potencia de la atmósfera (T_{up})

Reflexiones de otras fuentes (T_{DN}) ,

Sol, luna, ruido galáctico, ruido cósmico, atmósfera...

=> TEMPERATURA APARENTE DE BRILLO

$$T_{AP}^{p}(\theta, \varphi) = \frac{1}{L_{a}(h, \theta, \varphi)} \left(T_{B}^{p}(\theta, \varphi) + T_{SC}^{p}(\theta, \varphi) \right) + T_{UP}(\theta, \varphi)$$

Sensibilidad de la temperatura de brillo a los parámetros atmosféricos en función de la frecuencia

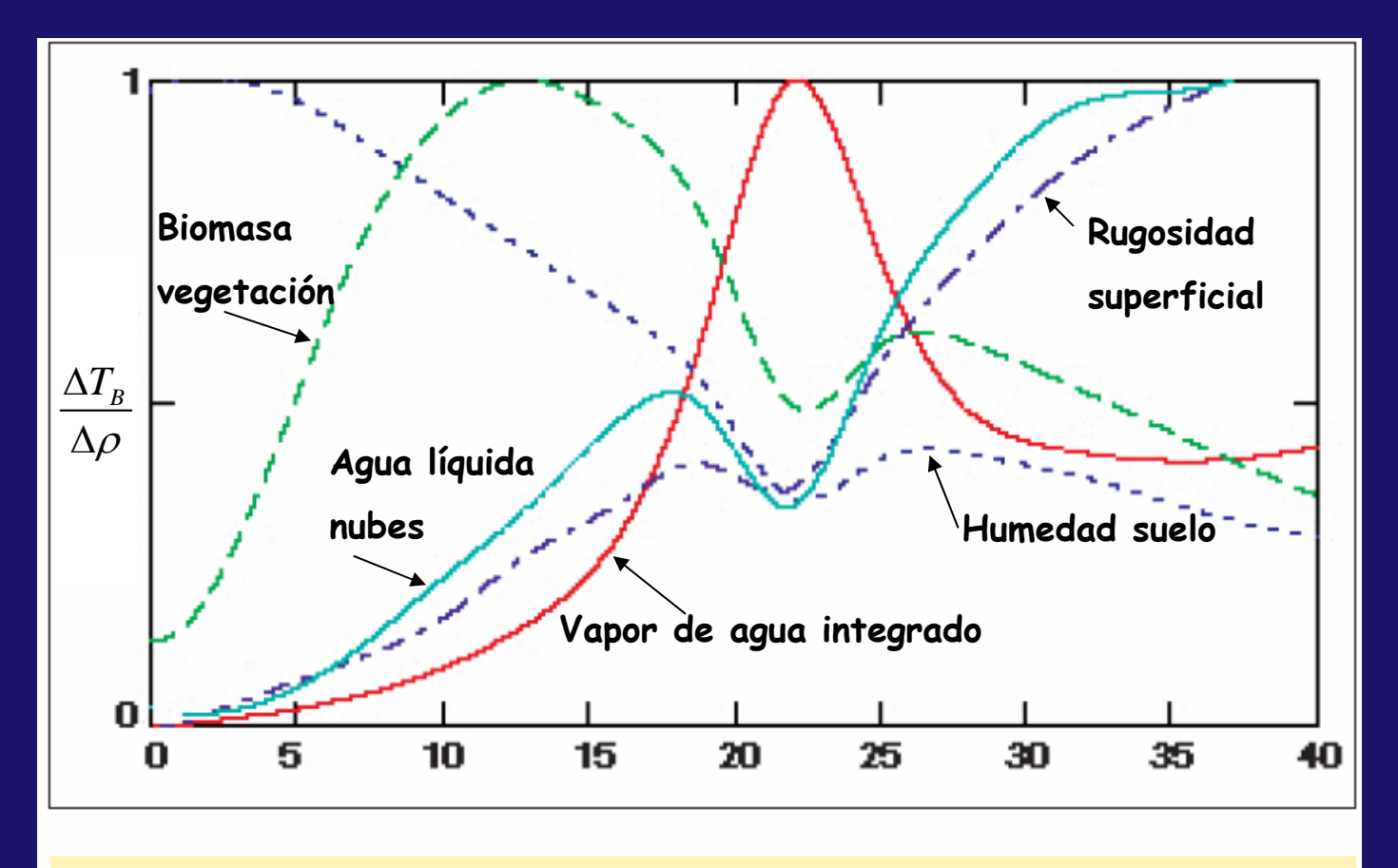
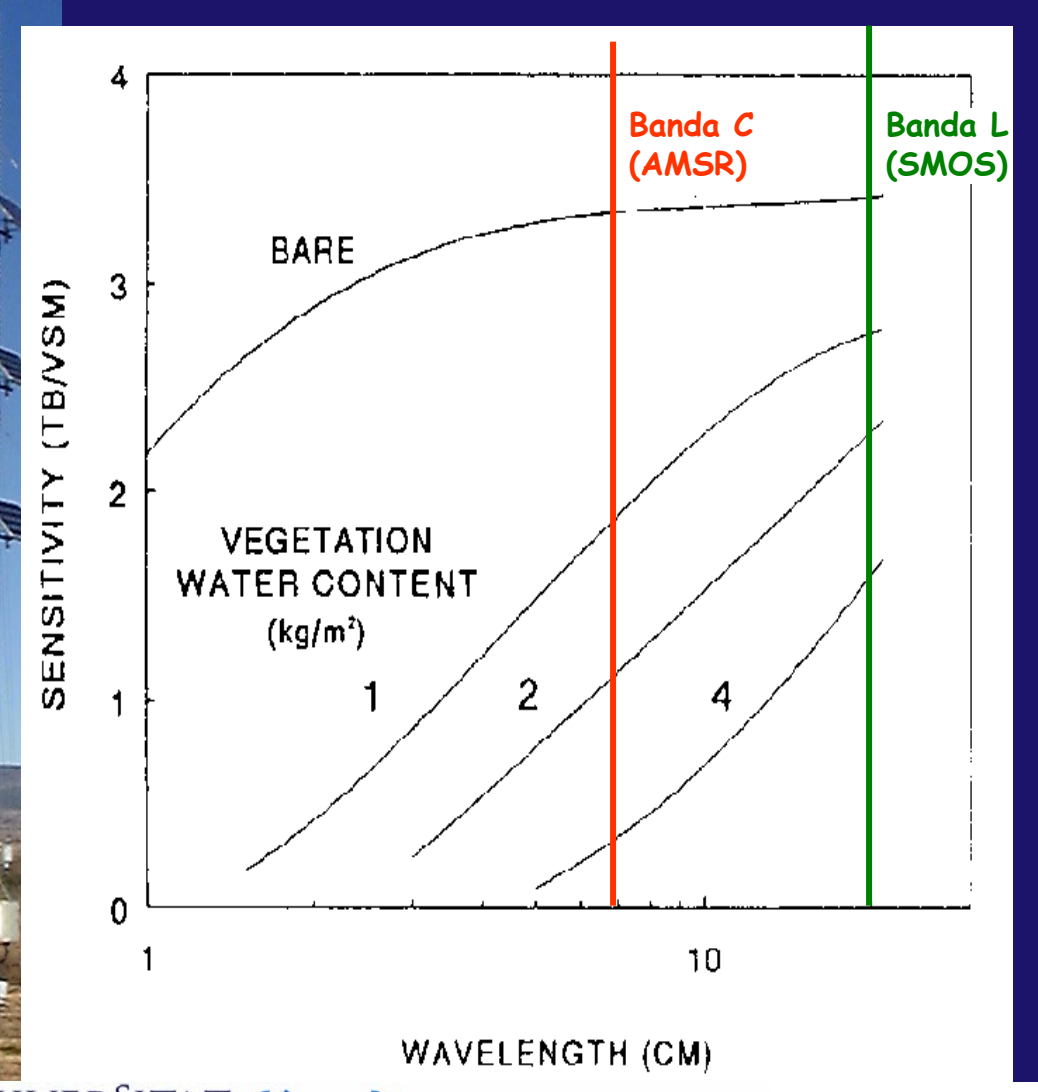


Figure 7: Sensitivity to surface and atmospheric parameters as a function of frequency [Kerr, 1996].



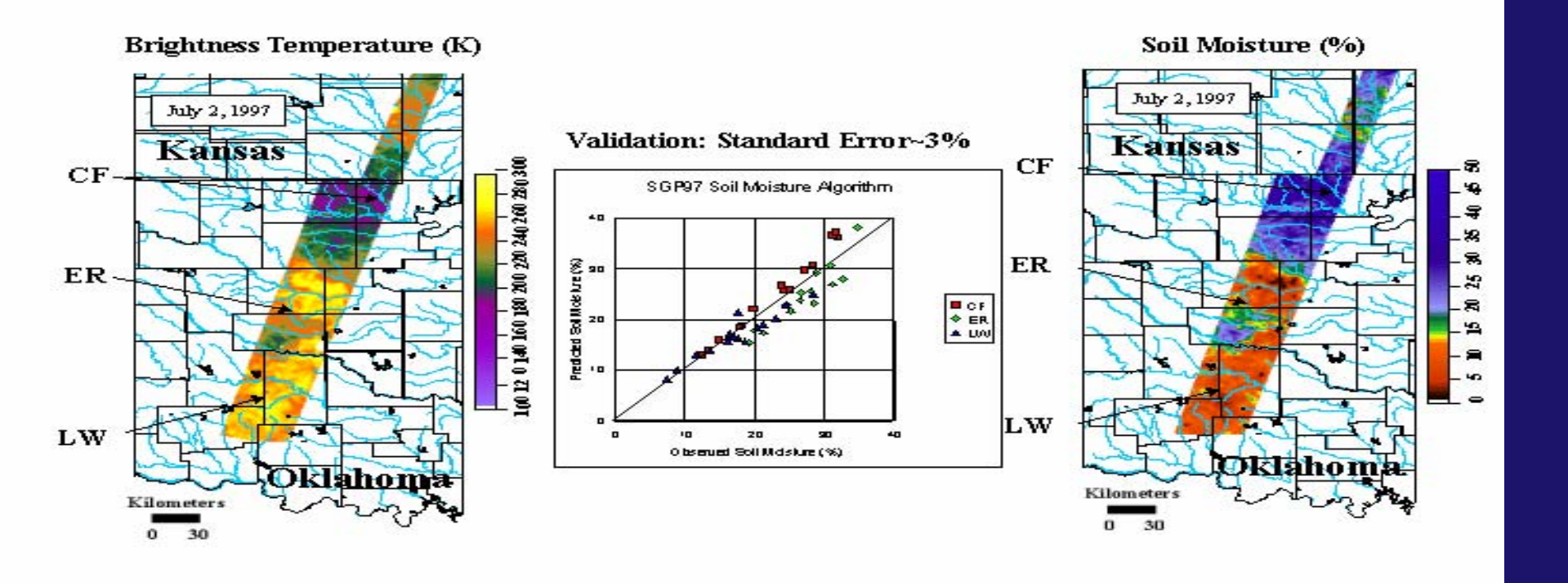




- Para penetrar en la capa de vegetación se deben elegir frecuencias bajas.
- Banda de frecuencias protegida: 1.41 GHz



Soil Moisture Mapping and Validation Using ESTAR SMOS







PBMR



Broad science, high spatial resolution, higher sensitivity (10km)

HYDROS

Improved global mapping

(50km) Limited global mapping,

km)

Large scale mapping and integrated hydrologic research (1 km)

Exploration of spatial and temporal concepts (100 m)

Ground and aircraft development and verification of theory (1 m)

ESTAR

T. Jackson/USDA

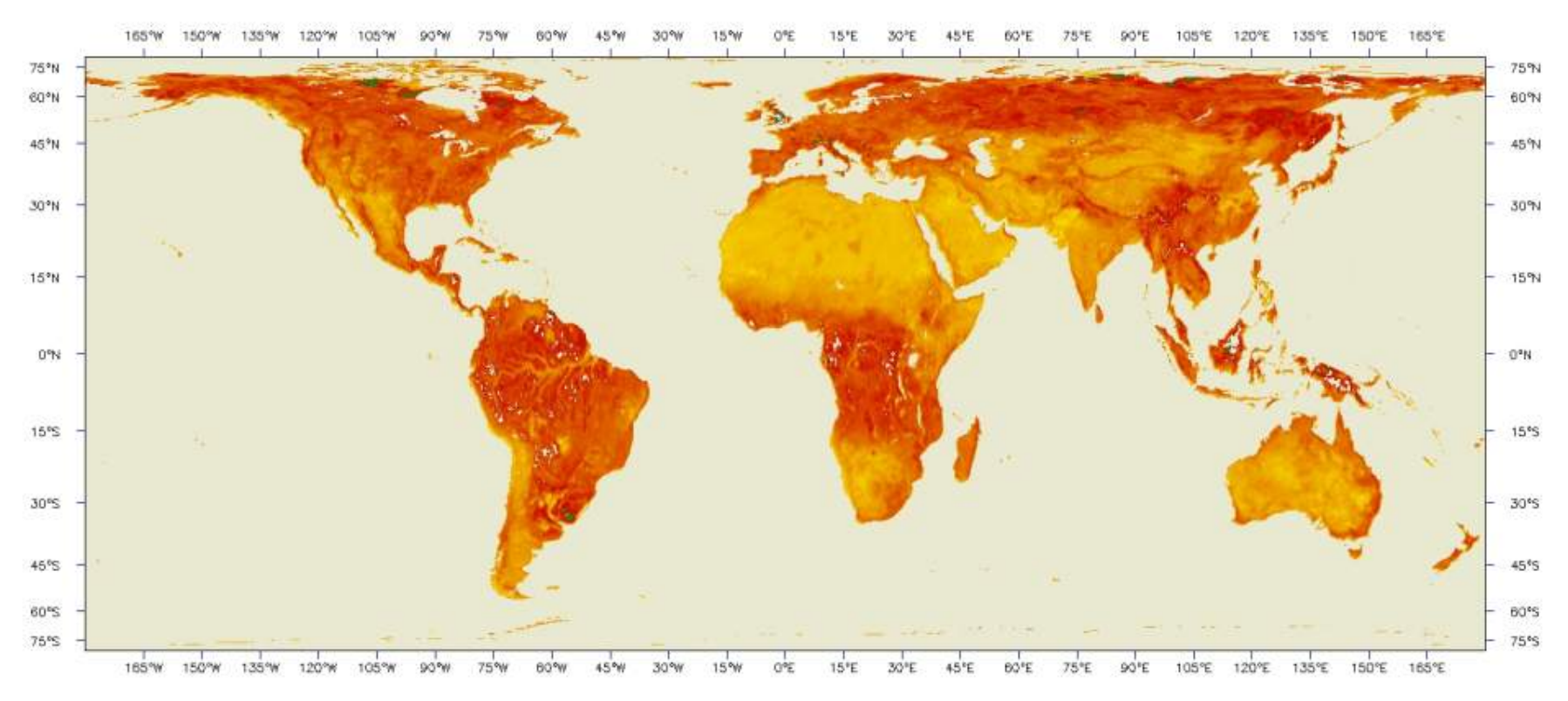
1970 Time Period 2000

2010

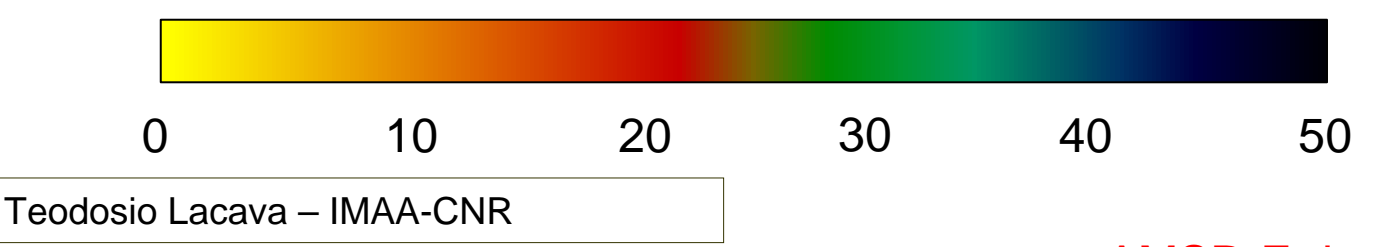
Field

Experiments

Mean Soil Moisture (% volume): April 2003-2005 A







Salón Interfacultativo Campus de Burjassot, 22 Noviembre 2007



La Misión SMOS de la ESA

Cicle de Conferències de la Facultat de Física

Salón Interfacultativo Campus de Burjassot, 22 Noviembre 2007



Scientific Requirements for Soil-Moisture Measurements

The scientific requirements for the SMOS mission have been formulated to gain maximum information on the surface-emitted 'brightness temperature' to allow the retrieval of surface soil moisture with an accuracy in the range of its natural variability. These requirements are:

- Soil-moisture Accuracy: 0.04 m³ m⁻³ (i.e. 4% volumetric soil moisture) or better For bare soils, for which the influence of near-surface soil moisture on surface water fluxes is strong, it has been shown that a random error of 0.04 m³ m⁻³ allows a good estimation of the evaporation and soil transfer parameters.
- Spatial Resolution: < 50 km For providing soil-moisture maps to global atmospheric models, a 50 km resolution is adequate, and will allow hydrological modelling with sufficient detail for the world's largest hydrological basins.
- Global Coverage: ± 80° latitude or higher
- Revisit Time: 2.5 to 3 days

A 3 to 5 day revisit cycle is sufficient to retrieve vadose-zone soil-moisture content and evapo-transpiration, provided ancillary rainfall information is available. To track the quick-drying period after rain has fallen, which is very informative about the soil's hydraulic properties, a one- or two-day revisit interval is optimal. The stipulated 2.5 to 3 day bracket will satisfy the first objective always, and the second one most of the time.

- Observation Time:

The precise time of the day is not critical for data acquisition, but the early morning (about 06:00 h) is preferable, when ionospheric effects can be expected to be minimal and conditions are as close as possible to thermal equilibrium. The retrievals will then be more accurate, but dew and morning frost can sometimes affect the measurements.

Salón Interfacultativo Campus de Burjassot, 22 Noviembre 2007

MIRAS: Microwave Radiometer by Aperture Synthesismos

- Radiómetro de potencia total inviable (tamaño de la antena)
- Tecnología: Radiometría por Síntesis de Apertura: MIRAS.





- Concepto heredado de radioastronomía.
- Agrupación en Y (brazo: ~ 4.5 m)
- 21 antenas Banda L/brazo.
- Doble polarización (H y V)
- Espaciado 0.875 λ
- No se utilizan mecanismos de escaneado
- Imágenes 2D por síntesis Fourier

•Masa instrumento 175kg

VLA (Socorro, New Mexico)

Cicle de Conferències de la Facultat de Física

Salón Interfacultativo Campus de Burjassot, 22 Noviembre 2007



MIRAS: Microwave Radiometer with Aperture Synthesis

Passive microwave radiometer (L-band - 1.4GHz)
2D interferometry

multi-incident angles (0°-55°) 755.5 km altitude

~ 1000 km swath polarimetric observations

spatial resolution: 20-50km

revisit time: 1-3 days

mission duration: 3-5 years

30° steer angle 32.5° tilt angle

arm (3.36 m length)

element spacing: 0.875 l

69 receivers in total (18 in each arm, 15 on the hub)

21 receiver elements per arm:

 $6 \times 3 + 3$ (hub)

Technical Concept

6 redundant receivers (in hub)





Cicle de Conferències de la Facultat de Física

KANANA MANANA

Salón Interfacultativo Campus de Burjassot, 22 Noviembre 2007



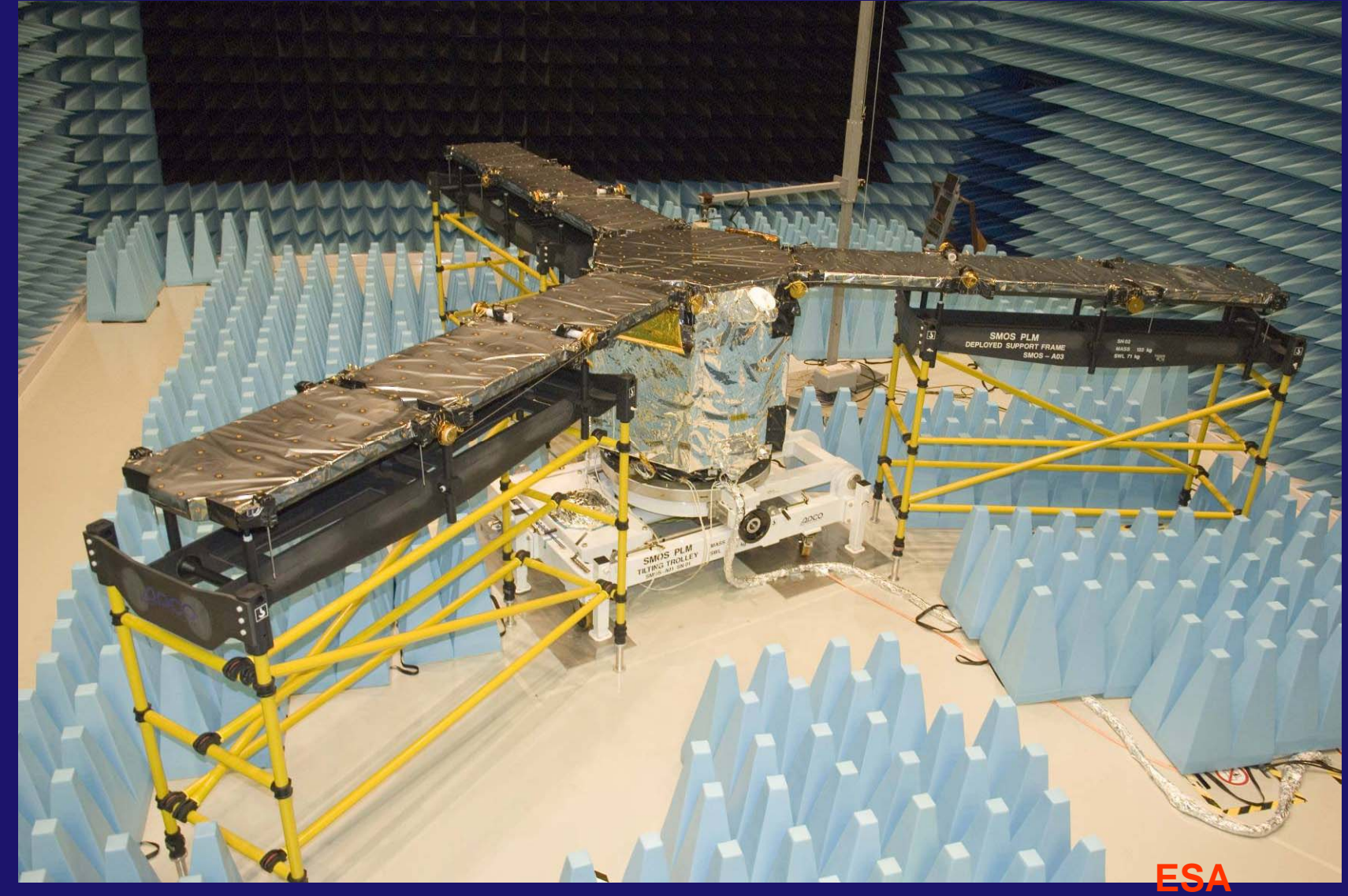


SMOS

AND MANAGE

Cicle de Conferències de la Facultat de Física
Salón Interfacultativo Campus de Burjassot, 22 Noviembre 2007



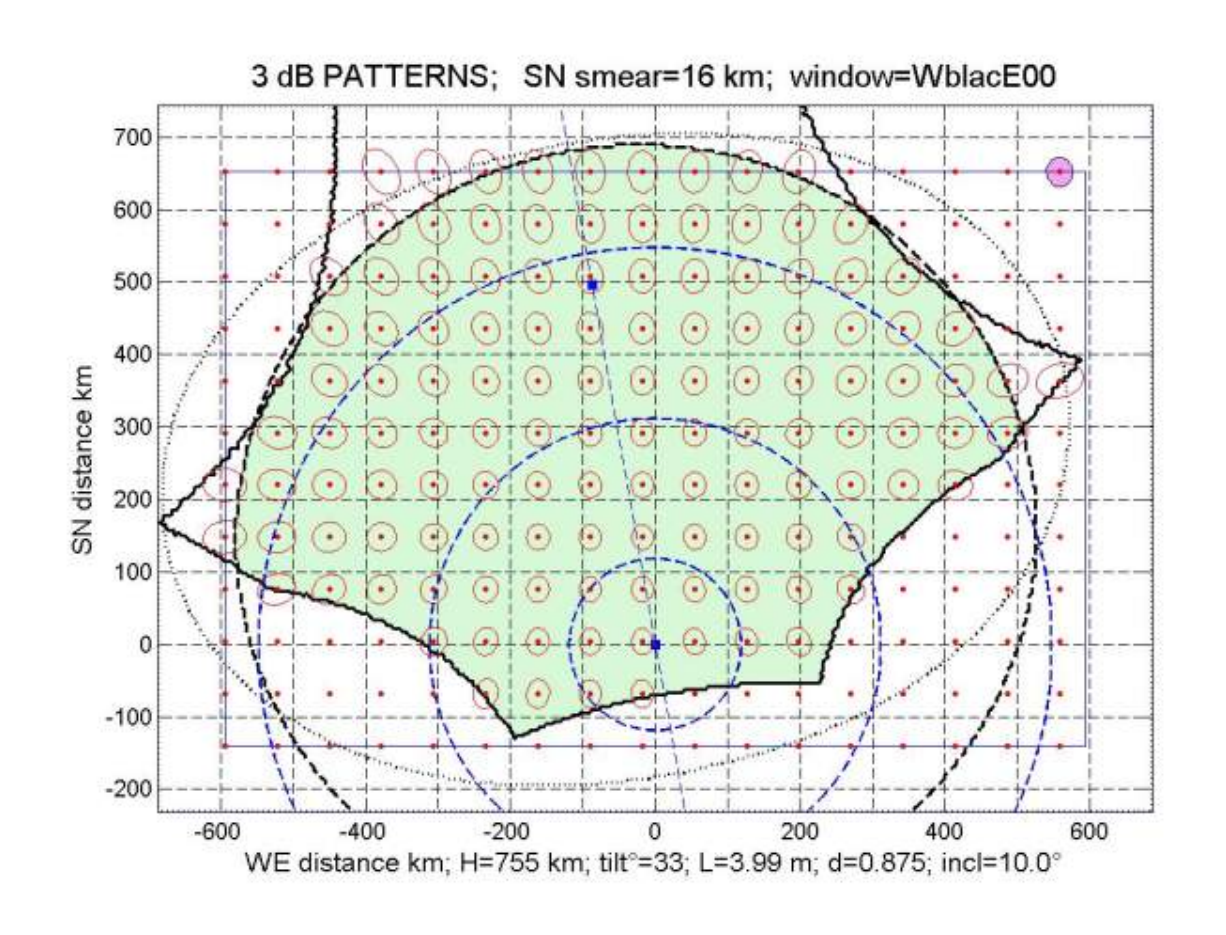




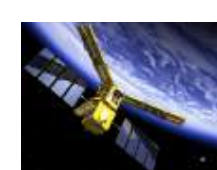
Principle of operations

SMOS FOV; 755 km, 3x6, 33° , 0.875λ ,

- •Each integration time, (2.4 s) a full scene is acquired (dual or full pol)
- Average resolution 43km, global coverage
- •A given point of the surface is thus seen with several angles
- Maximum time(equator) between twoacquisitions 3 days







Soil Moisture and Ocean Salinity (SMOS)







Soil Moisture and Ocean Salinity (SMOS)





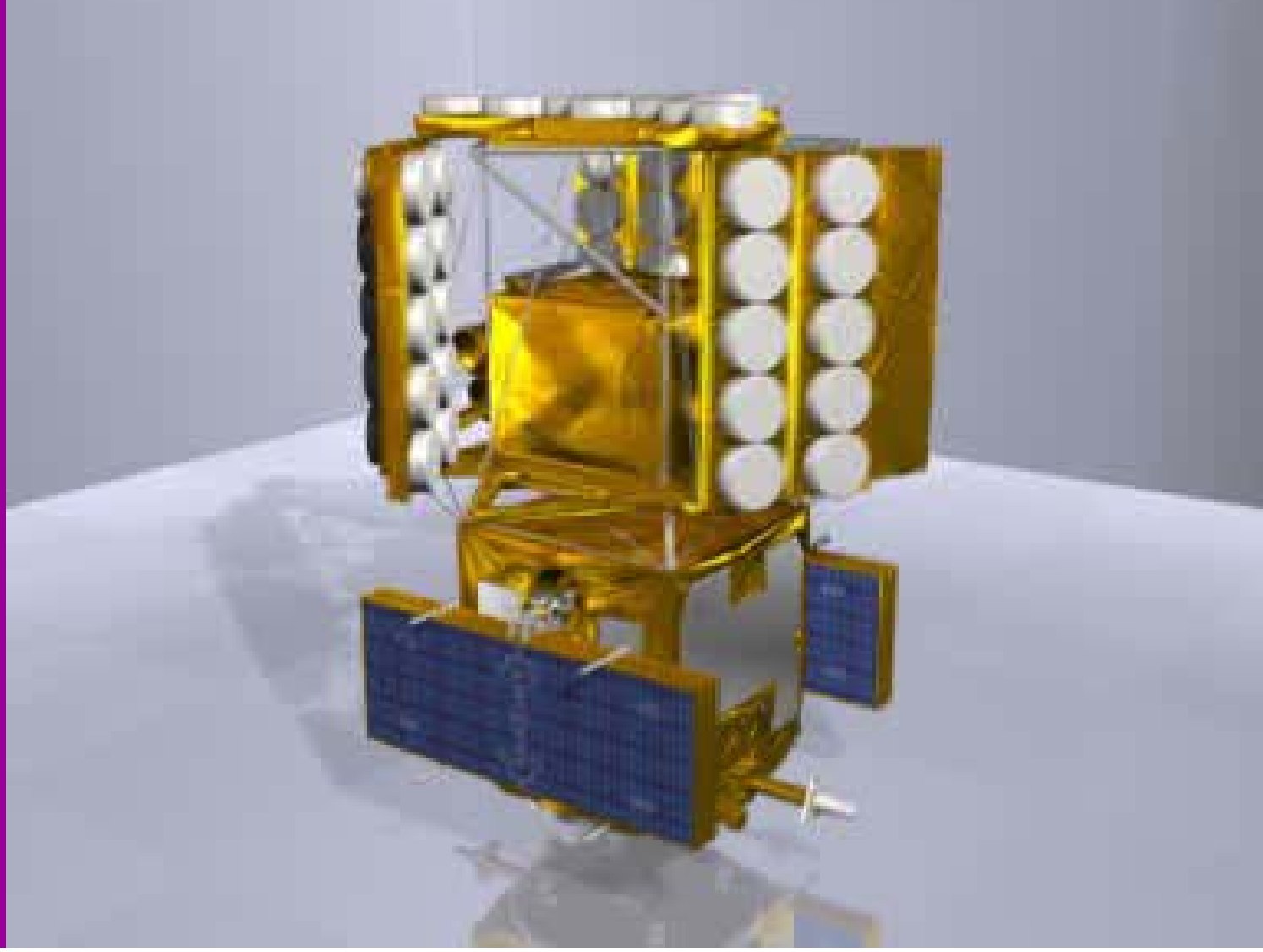


Soil Moisture and Ocean Salinity (SMOS)





NAMES OF THE PROPERTY.





http://www.esa.int/esaLP/LPsmos.html http://www.cesbio.ups-tlse.fr/us/indexsmos.html http://www.icm.csic.es/oce/projects/smos/ http://www.uv.es/elopez/?19

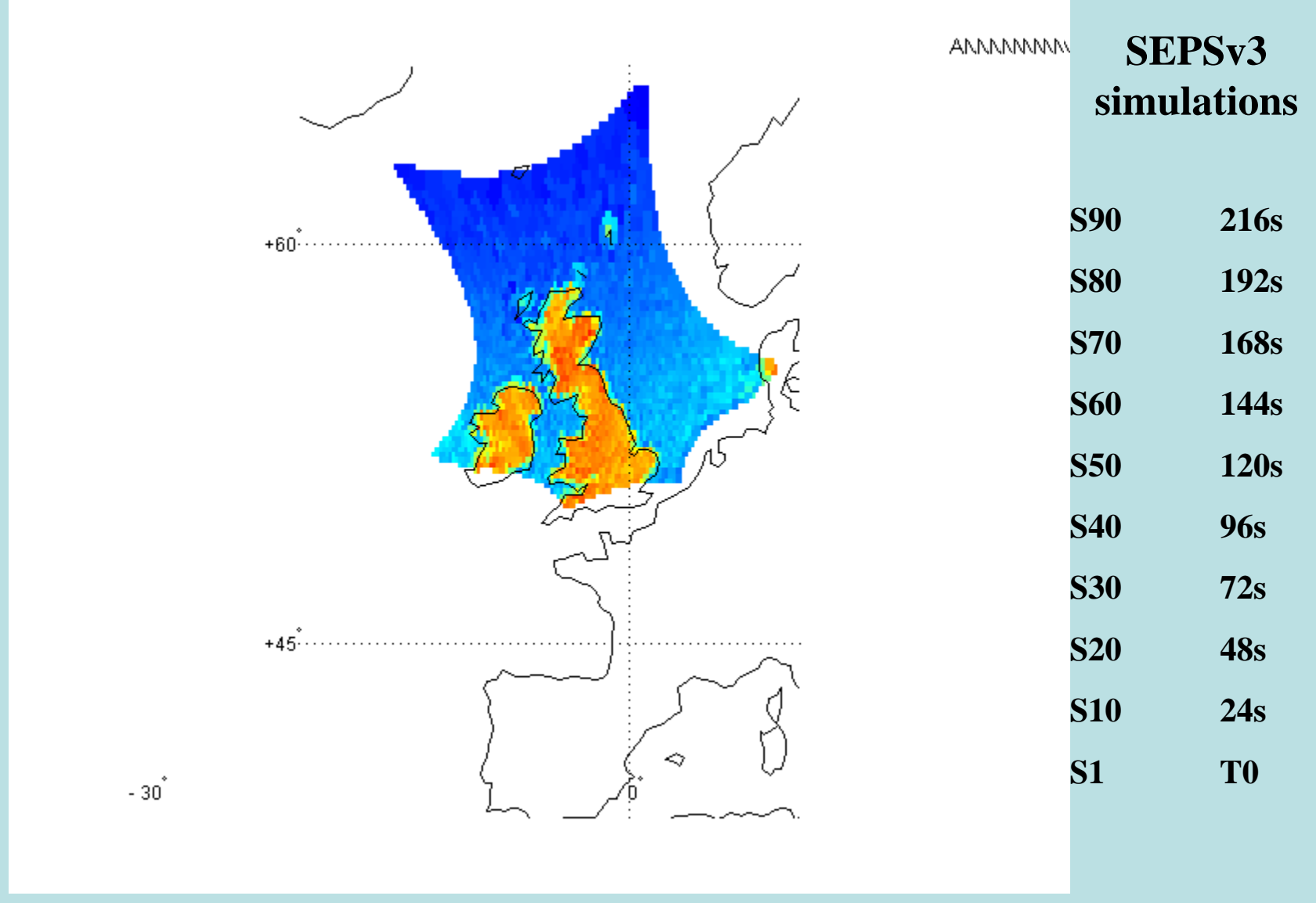
Demostrar el uso de la interferometría 2-D de microondas en Banda L para observar operacionalmente:

- Salinidad de los océanos,
- Contenido en humedad del suelo, y
- Caracterización del hielo de la Criosfera

y mejorar los modelos meteorológicos, climáticos e hidrológicos



SMOS 2-D Field of view (1 FOV / 10) (F. Petitcolin, ACRI-st)

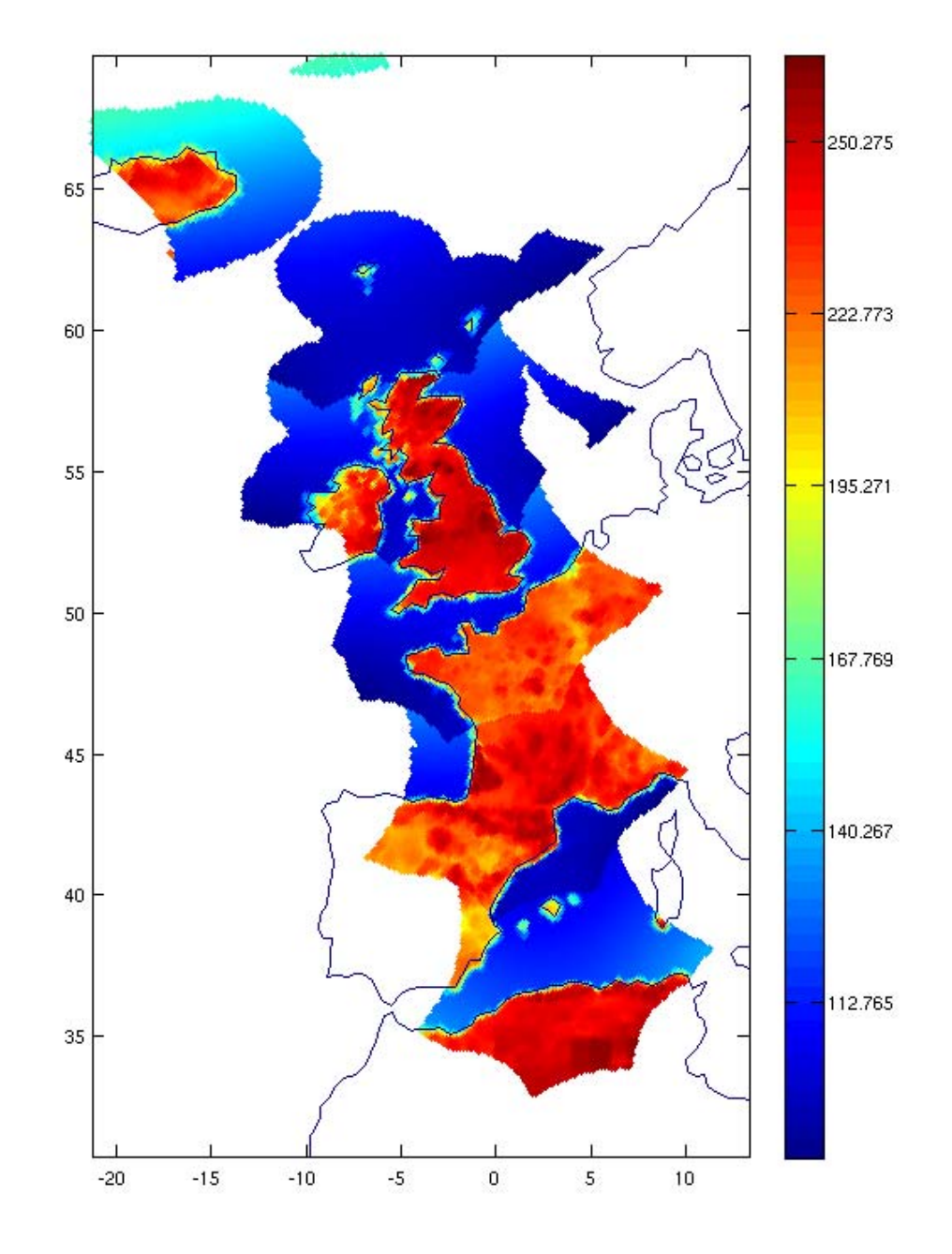


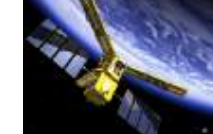
Satellite pass: 06 & 18 h local time (Equator)



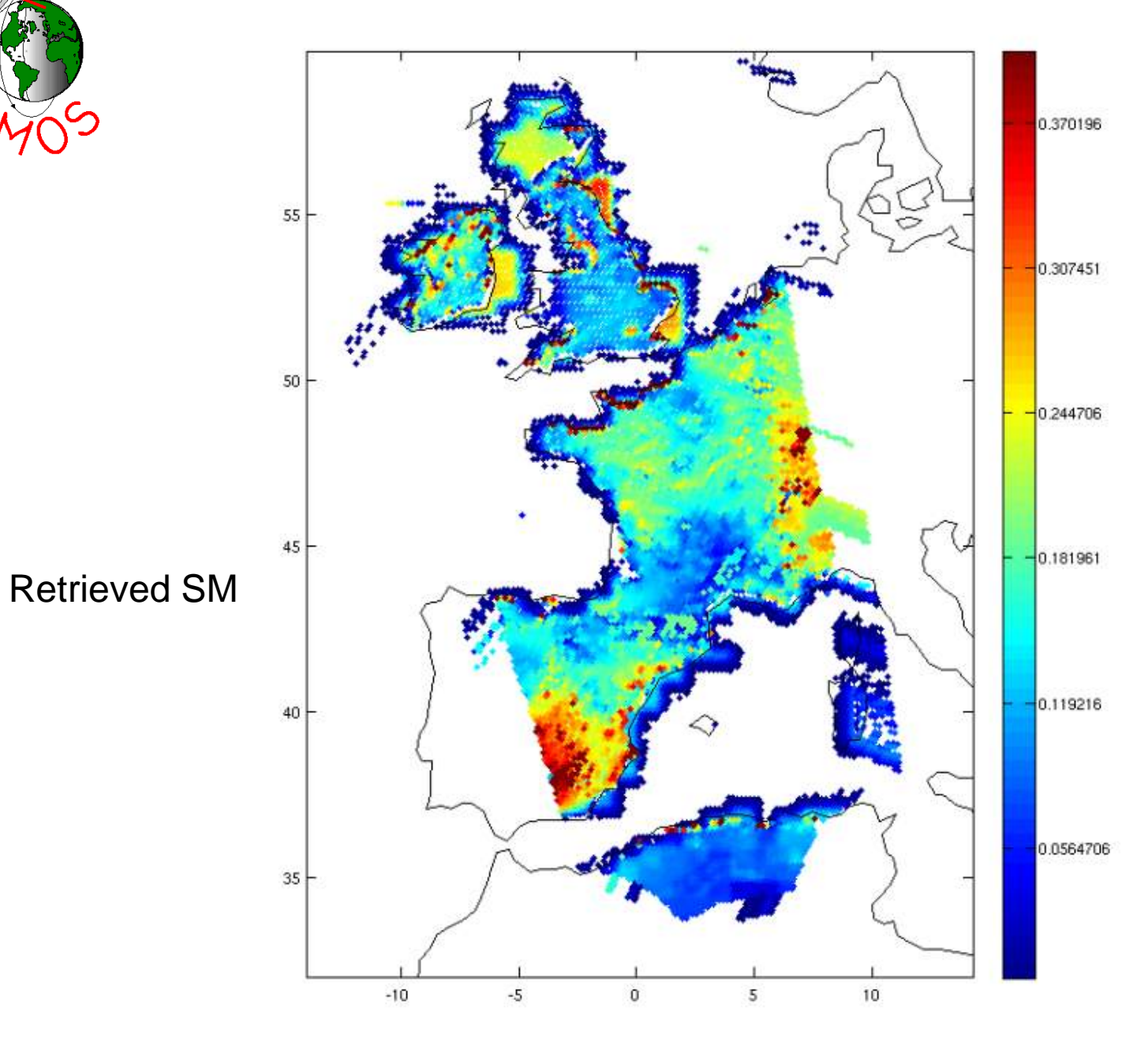


Snapshots

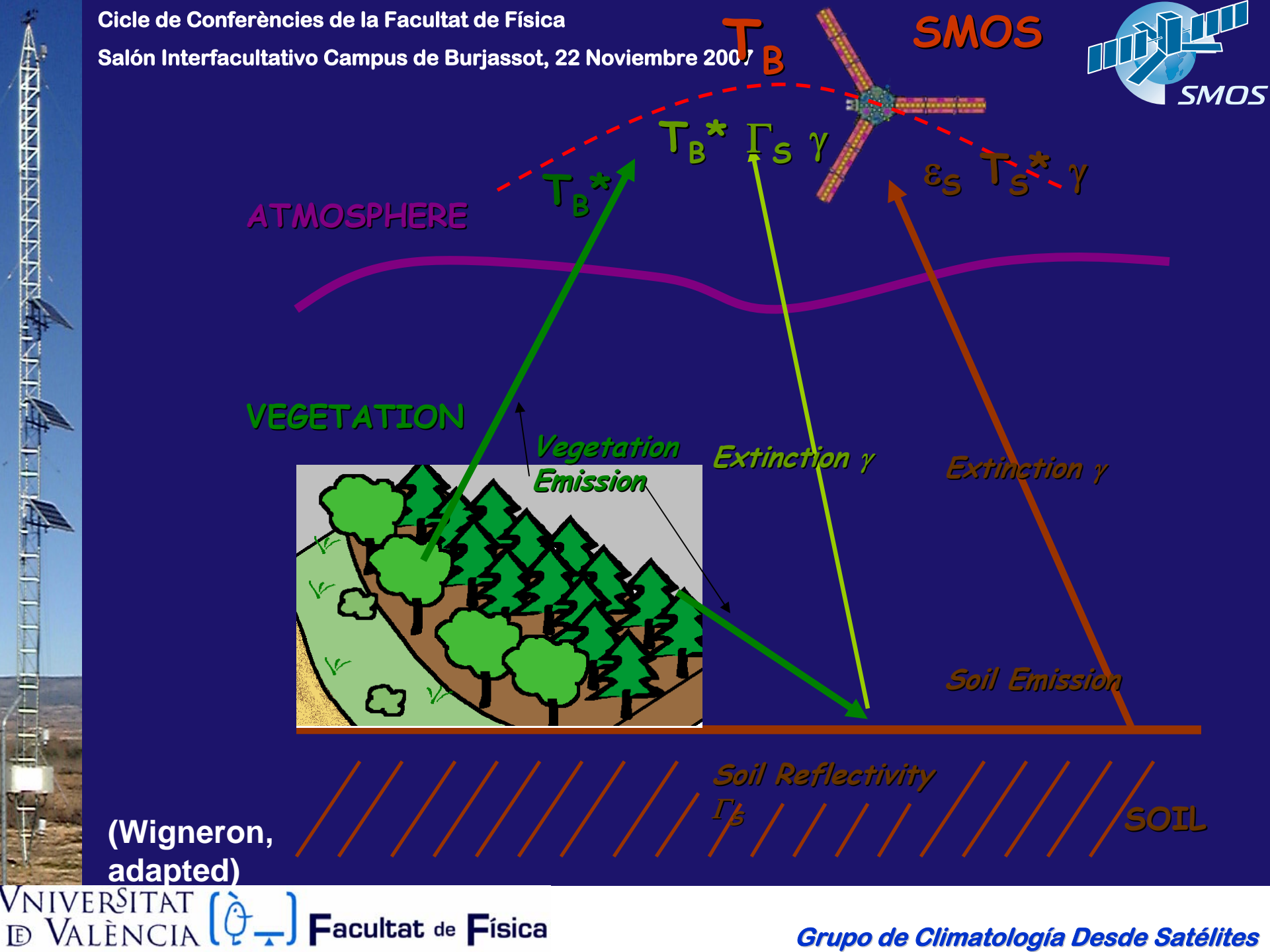














Agradecimientos

- Spanish Programme on Space Research (MIDAS Projects)
- Regional Government of Valencia, Dept. for Environment, Directorate General for Climate Change
- ESA
- SMOS Science Group

